

โครงการที่ 820/2562 (วศบ.อุตสาหการ)



## การพัฒนาระบบพลาสม่าเจ็ตสำหรับการแทกตัว ของพันธุ์ໄสโตรเจนในน้ำตาลฟรุกโตสไซร์ป

นายภูเบศ เทพวารินทร์ รหัสนักศึกษา 590612079  
นายศุภกฤต เสรีสุชาติ รหัสนักศึกษา 590612094

โครงการนี้เป็นส่วนหนึ่งของการศึกษาตามหลักสูตรปริญญาวิศวกรรมศาสตรบัณฑิต  
ภาควิชาวิศวกรรมอุตสาหการ

คณะวิศวกรรมศาสตร์ มหาวิทยาลัยเชียงใหม่

ปีการศึกษา 2562

หัวข้อโครงการ	การพัฒนาระบบพลาสมาชีตสำหรับการแต่งตัวของพันธุ์ไฮโดรเจน ในน้ำตาลฟรุกโตสไซรัป		
โดย	นายภูเบศ	เทพวารินทร์	รหัสนักศึกษา 590612079
	นายศุภกฤต	เสรีสุชาติ	รหัสนักศึกษา 590612094
ภาควิชา	วิศวกรรมอุสาหการ คณะวิศวกรรมศาสตร์ มหาวิทยาลัยเชียงใหม่		
อาจารย์ที่ปรึกษา	รศ.ดร.คณกฤต เล็กสกุล		
ปีการศึกษา	2562		

---

ภาควิชาชีววิศวกรรมอุตสาหการ คณะวิศวกรรมศาสตร์ มหาวิทยาลัยเชียงใหม่ อนุมัติให้นับ  
โครงการนี้ เป็นส่วนหนึ่งของการศึกษาตามหลักสูตรปริญญาวิศวกรรมศาสตรบัณฑิต

#### กรรมการสอบโครงการ

..... ประธานกรรมการ  
(รศ.ดร.คณกฤต เล็กสกุล)

..... กรรมการ  
(รศ.ดร.นิวิท เจริญใจ)

..... กรรมการ  
(ผศ.ดร.กรกฎ ไybawtesh ทิพยวงศ์)

## กิตติกรรมประกาศ

โครงการวิจัยเรื่อง “การพัฒนาระบบพลาสม่าเจ็ตสำหรับการแตกตัวของพันธะไฮโดรเจนในน้ำตาลฟรุกโตสไซรัป” ฉบับนี้สำเร็จลุล่วงด้วยดี อันเนื่องมาจากได้รับความร่วมมือและความอนุเคราะห์ช่วยเหลือของบุคคลหลายๆ ท่านดังนี้

ขอขอบพระคุณ ศศ.ดร.ศุภกฤต เล็กสกุล อาจารย์ที่ปรึกษาโครงการวิจัย ผู้กรุณาให้คำแนะนำคำปรึกษา ตลอดจนตรวจทาน และแก้ไขจนโครงการวิจัยนี้ได้เสร็จสมบูรณ์ ขอกราบขอบพระคุณเป็นอย่างสูงไว้ ณ โอกาสนี้

ขอขอบพระคุณ ศศ.ดร.นิวิท เจริญใจ ผศ.ดร.อรรถพล สมุทคุปต์ ผศ.ดร.กรกฎ ไยบัวเทศ ทิพยางศ์ คณาจารย์ภาควิชาวิศวกรรมอุตสาหการ คณาวิศวกรรมศาสตร์ มหาวิทยาลัยเชียงใหม่ และคณบดีคณะกรุํการสอบโครงการวิจัย ผู้กรุณาให้ความรู้ คำแนะนำ คำปรึกษา ตลอดจนตรวจทาน และแก้ไขจนโครงการวิจัยนี้ได้เสร็จสมบูรณ์ ขอกราบขอบพระคุณเป็นอย่างสูงไว้ ณ โอกาสนี้

ขอขอบพระคุณ นายนรพนธ์ วิเชียรสار นักศึกษาปริญญาเอก ภาควิชาวิศวกรรมอุตสาหการ คณาวิศวกรรมศาสตร์ มหาวิทยาลัยเชียงใหม่ นายภาณุเดช สายนาครา นักศึกษาปริญญาโท ภาควิชาวิศวกรรมอุตสาหการ คณาวิศวกรรมศาสตร์ มหาวิทยาลัยเชียงใหม่ ที่ได้ให้ความรู้ คำปรึกษา คำแนะนำ ทำให้งานวิจัยครั้งนี้สำเร็จลุล่วงไปด้วยดี

และขอขอบพระคุณทุกท่านที่มีส่วนช่วยเหลือในการทำโครงการวิจัย ซึ่งไม่ได้อยู่นามถึง มากัน ที่นี่ ท้ายที่สุด ทางคณะผู้จัดทำโครงการวิจัยหวังเป็นอย่างยิ่งว่า โครงการวิจัยฉบับนี้จะเป็นประโยชน์สำหรับผู้ที่สนใจในการนำไปศึกษา ค้นคว้า และต่อยอดองค์ความรู้ได้ หากมีส่วนใดที่บกพร่อง หรือ มีความผิดพลาดประการใด ทางคณะผู้จัดทำต้องขออภัยไว้เป็นอย่างสูง และพร้อมน้อมรับข้อเสนอแนะ มา ณ ที่นี่ จึงขอขอบพระคุณเป็นอย่างยิ่ง

นายภูเบศ เทพารินทร์

นายศุภกฤต เสรีสุชาติ

หัวข้อโครงการ	การพัฒนาระบบพลาスマเจ็ตสำหรับการแตกตัวของพันธุ์ไอกอโรเจน ในน้ำตาลฟรุกโตสไซรัป		
โดย	นายภูเบศ	เทพวารินทร์	รหัสนักศึกษา 590612079
	นายศุภกฤต	เสรีสุชาติ	รหัสนักศึกษา 590612094
ภาควิชา	วิศวกรรมอุสาหการ คณะวิศวกรรมศาสตร์ มหาวิทยาลัยเชียงใหม่		
อาจารย์ที่ปรึกษา	รศ.ดร.คณกฤต เล็กสกุล		
ปีการศึกษา	2562		

---

## บทคัดย่อ

ปัจจุบันมีจำนวนของผู้ป่วยในประเทศไทยที่เป็นโรคเบาหวานและเสียชีวิตจำนวนมาก ซึ่งมีแนวโน้มเพิ่มขึ้นทุกๆ ปีอย่างต่อเนื่อง โดยสาเหตุหลักของการเกิดโรคเบาหวานนั้นคือการรับประทานอาหาร ซึ่งการรับประทานอาหารนั้นเป็นสาเหตุที่หลักเลี้ยงได้จากโดยอาหารที่มีรสหวานส่วนใหญ่จะมีองค์ประกอบคือน้ำตาล เมื่อไม่นานมานี้นักวิทยาศาสตร์ได้คิดค้นน้ำตาลที่ดีต่อสุขภาพ ซึ่งให้ความหวานแต่ไม่มีแคลอรี่ โดยน้ำตาลที่กล่าวมาคือ น้ำตาลหาวยากแต่น้ำตาลหาวยากนั้นยังมีข้อจำกัดในการผลิตซึ่งต้องใช้ระยะเวลาในการผลิตเป็นระยะเวลานาน ซึ่งจากการศึกษาพบว่าพลาสมารถทำให้เกิดการแตกตัวของพันธุ์ไอกอโรเจนในน้ำตาลฟรุกโตสไซรัปได้ตามทฤษฎี โดยงานวิจัยนี้ได้มุ่งเน้นการพัฒนาระบบพลาスマเจ็ตเพื่อนำพลาสมาร์ทที่เกิดขึ้นจากพลาสมาร์เจ็ตไปดิสชาร์จลงบนน้ำตาลฟรุกโตสไซรัป และสังเกตการเปลี่ยนแปลงของพันธุ์ไอกอโรเจนในน้ำตาลฟรุกโตสไซรัป ซึ่งหากเกิดการเปลี่ยนแปลงอาจส่งผลให้สามารถช่วยลดระยะเวลาในการผลิตน้ำตาลหาวยากได้ ทั้งยังสามารถเพิ่มปริมาณการผลิตได้อีกด้วย ซึ่งจากการศึกษาวิจัยในครั้งนี้สามารถนำไปพัฒนาต่อยอดและปรับปรุงแก้ไขข้อผิดพลาดต่างๆ ให้ดียิ่งขึ้นได้ในอนาคต เพื่อนำไปประยุกต์ใช้ในการทำเครื่องพลาสมาร์เจ็ตที่เหมาะสมต่อการใช้งานในเชิงอุตสาหกรรม

Project Title	Developing Plasma Jet System for Breaking Hydrogen Bond in Fructose Syrup		
Name	Phubest	Thepvarin	code 590612079
	Suprakit	Sereesuchat	code 590612094
Department	Industrial Engineering, Faculty of Engineering, Chiang Mai University		
Project Advisor	Associate Professor Komgrit Leksakul, D.Eng.		
Academic Year	2019		

---

## ABSTRACT

Nowadays the number of diabetic patient and death in Thailand is increasing in every year. Normally the cause which come from food consumption of people is quite difficult to control along with the flavor of the food. According to our research we observe that many foods in Thailand have sweet flavor which is the cause of diabetic because sweet flavor is come from sugar. The scientist invent a new sugar which is good for health, because you still taste a sweet flavor with no calories, also know as Fructose Syrup (rare sugar). However the process of Fructose Syrup has many conditions such as take time to produce and high price. From our research we found that Plasma Jet can breaking Hydrogen bond in Fructose Syrup. This research focus on improving of the system plasma jet which bring the plasma which come from processing of plasma jet discharge on Fructose syrup. According to observing, the changes of Hydrogen bond in Fructose syrup if there is any changes of Hydrogen bond in Fructose syrup it might reduce time and increase the capacity of producing Fructose Syrup. From our research it can reach to improving and adjust any mistake that can be occur, moreover this research can applied to making plasma jet machine which appropriate with the working in industrial.

# สารบัญ

หน้า

กิตติกรรมประกาศ	๑
บทคัดย่อภาษาไทย	๑
บทคัดย่อภาษาอังกฤษ	๑
สารบัญตาราง	๓
สารบัญภาพ	๔
บทที่ 1 บทนำ	
1.1 ความสำคัญ และที่มาของปัญหาที่ทำโครงการ	1
1.2 วัตถุประสงค์	2
1.3 ขอบเขตการศึกษา	2
1.4 ประโยชน์ที่คาดว่าจะได้รับ	3
บทที่ 2 หลักการและทฤษฎีที่เกี่ยวข้อง	
2.1 พลasmA	4
2.2 การเบรกดาวน์ของสถานะก้าช	7
2.3 กระบวนการที่เกิดการเบรกดาวน์ของสถานะก้าช	11
2.4 สนามไฟฟ้า	11
2.5 วงจรขับหม้อแปลงความถี่สูง	14
2.6 วงจรฟลายแบคคอนเวอร์เตอร์	14
2.7 พลasmAแบบเจ็ตในความดันบรรยากาศโครงสร้างแบบวงแหวน	16
2.8 วิธีการวิเคราะห์คุณสมบัติของพลasmA	17
2.9 นำatalaya ก	18
บทที่ 3 ระเบียบวิธีการทำวิจัย	
3.1 ศึกษาหลักการและทฤษฎีที่เกี่ยวข้อง	21
3.2 วางแผนและออกแบบอุปกรณ์	22
3.3 จัดซื้ออุปกรณ์และชิ้นส่วนที่เกี่ยวข้อง	24
3.4 ประกอบเครื่องและอุปกรณ์	27
3.5 ทำการทดลองแบบลองผิดลองถูก (Trial and Error)	28

## สารบัญ (ต่อ)

หน้า

3.6 ทำการดิสชาร์จลงบนน้ำตาลฟรุกโตสไซรัปและทดสอบด้วยเครื่องนิวเคลียร์แมกเนติกเรโซแนนซ์สเปกโตรสโคปี (NMR)	29
3.7 สรุปผลการดำเนินงาน	29
<b>บทที่ 4 ผลการดำเนินงาน</b>	
4.1 การทดลองครั้งที่ 1	30
4.2 การทดลองครั้งที่ 2	34
4.3 การทดลองครั้งที่ 3	36
4.4 การทดลองครั้งที่ 4	38
4.5 การทดลองครั้งที่ 5	42
4.6 การทดลองครั้งที่ 6	45
4.7 การทดลองครั้งที่ 7	47
4.8 การทดลองครั้งที่ 8	48
4.9 การทดลองครั้งที่ 9	50
4.10 การทดลองครั้งที่ 10	52
4.11 การทดลองครั้งที่ 11	54
4.12 การทดลองครั้งที่ 12	57
4.13 การทดลองครั้งที่ 13	58
4.14 ทำการดิสชาร์จลงบนน้ำตาลฟรุกโตสไซรัป	59
4.15 ผลทดสอบด้วยเครื่องนิวเคลียร์แมกเนติกเรโซแนนซ์สเปกโตรสโคปี (NMR)	60
<b>บทที่ 5 สรุปผลการดำเนินงาน</b>	
5.1 สรุปผลการดำเนินงาน	62
5.2 ปัญหาอุปสรรคและแนวทางแก้ไข	63
5.3 ข้อเสนอแนะ	64
<b>บรรณานุกรม</b>	65
<b>ภาคผนวก</b>	
ภาคผนวก ก ตารางแสดงค่าความคงทนไดอิเล็กทริก	66
ภาคผนวก ข ตารางแสดงค่าพลังงานที่ใช้ในการถลายน้ำ	68

## สารบัญ (ต่อ)

หน้า

ประวัติผู้เขียน

70

## สารบัญตาราง

ตาราง	หน้า
2.1 กระบวนการไออ้อนในเซชันและพลังงานทั้งหมดของอะตอมอาร์กอนที่ใช้สำหรับทำให้เกิดกระบวนการไออ้อนในเซชัน	5
2.2 แรงดันไฟฟ้าต่ำสุดเพื่อทำให้เกิดประกายไฟ (Sparking) ของก๊าซชนิดต่างๆ	10
3.1 อุปกรณ์และชิ้นส่วนที่เกี่ยวข้องกับแหล่งจ่ายไฟฟ้าแรงดันสูงความถี่สูงชนิดกระแสลับ	24
3.2 อุปกรณ์และชิ้นส่วนที่เกี่ยวข้องกับชุดควบคุมอัตตราการไฟหลังของก๊าซ	26
4.1 ค่าไฟฟ้าแรงดันสูงที่ได้จากการพันแกนปมภูมิของตัวफลายแบคคอนเวอร์เตอร์	32
4.2 ผลการทดลองในแต่ละระดับอัตตราการไฟหลังของก๊าซอาร์กอนของการทดลองครั้งที่ 1	34
4.3 ผลการทดลองในแต่ละระดับอัตตราการไฟหลังของก๊าซอาร์กอนของการทดลองครั้งที่ 2	35
4.4 ผลการทดลองในแต่ละระดับอัตตราการไฟหลังของก๊าซอาร์กอนของการทดลองครั้งที่ 3	37
4.5 ผลการทดลองในแต่ละระดับอัตตราการไฟหลังของก๊าซอาร์กอนของการทดลองครั้งที่ 4	40
4.6 ผลการทดลองในแต่ละระดับอัตตราการไฟหลังของก๊าซอาร์กอนของการทดลองครั้งที่ 5	43
4.7 ผลการทดลองในแต่ละระดับอัตตราการไฟหลังของก๊าซอาร์กอนของการทดลองครั้งที่ 6	45
4.8 ผลการทดลองในแต่ละระดับอัตตราการไฟหลังของก๊าซอาร์กอนของการทดลองครั้งที่ 7	48
4.9 ผลการทดลองในแต่ละระดับอัตตราการไฟหลังของก๊าซอาร์กอนของการทดลองครั้งที่ 8	49
5.1 ปัญหาอุปสรรคและแนวทางการแก้ไข	63

## สารบัญภาพ

ภาพ	หน้า
1.1 จำนวนผู้ป่วยโรคเบาหวานในประเทศไทยปี 2551 – 2558	1
1.2 โครงสร้างน้ำตาลฟรุกโตสไซร์ปและน้ำตาลหายาก (Rare Sugar) (ก) และ (ข)	2
2.1 การเปลี่ยนสถานะของสารเมื่อได้รับพลังงาน	4
2.2 กระบวนการเกิดพลาสม่าจากสถานะก๊าซ	5
2.3 ปฏิกิริยาที่เป็นไปได้มีการเกิดการระตุนของก๊าซอาร์กอนที่ทำให้เกิดอนุพันธ์ออกซิเจนที่ว่องไวและอนุพันธ์ในไตรเจนที่ว่องไว	6
2.4 เปรียบเทียบคุณสมบัติของพลาสม่าที่เกิดขึ้นแบ่งตามอุณหภูมิ	6
2.5 กราฟความสัมพันธ์ระหว่างอุณหภูมิและความดันในการเกิดพลาสม่าที่ความดันต่างๆ	7
2.6 วงจรที่ใช้ในการทดลองของ Townsend	8
2.7 กราฟการเบรกดาวน์ของก๊าซ	8
2.8 กราฟความสัมพันธ์ระหว่าง pd และ Vb ตามกฎของ Paschen	9
2.9 กราฟความสัมพันธ์ระหว่าง pd และ Vb ตามกฎของ Paschen ของก๊าซชนิดต่างๆ	10
2.10 อิเล็กโตรด 3 แบบ	12
2.11 การเปรียบเทียบสนามไฟฟ้าของอิเล็กโตรดทั้ง 3 แบบ ที่ระยะห่างระหว่างอิเล็กโตรดต่างๆ	12
2.12 วงจรฟลายแบคค่อนเวอร์เตอร์	15
2.13 การทำงานของวงจรฟลายแบคค่อนเวอร์เตอร์	15
2.14 โครงสร้างแบบบางแหวน ของพลาสม่าแบบเจ็ตที่ความดันบรรยากาศ	17
2.15 กราฟสเปกตรัมจากเครื่อง OES ของพลาสม่าเจ็ตที่มีความยาวเพลวพลาสม่า 1 cm	18
2.16 โครงสร้างน้ำตาลฟรุกโตสไซร์ปและน้ำตาลหายาก (Rare Sugar) (ก) (ข)	19
3.1 ขั้นตอนการดำเนินการวิจัย	20
3.2 เปรียบเทียบจุดเดือดสารประกอบทั้งสามชนิด	21
3.3 แบบจำลองໂປຣອิเล็กโตรดที่ทำการออกแบบ	22
3.4 แบบจำลองห้องปรับความดัน	23
3.5 แบบโครงสร้างที่ใช้ในการประกอบแหล่งจ่ายไฟฟ้าแรงดันสูงความถี่สูงชนิดกระแสสลับ	28
3.6 แบบโครงสร้างที่ใช้ในการประกอบชุดควบคุมอัตราการไหลของก๊าซ	28
4.1 ໂປຣວัดค่าไฟฟ้าแรงดันสูงที่อัตราส่วน 1 : 1,000	31
4.2 มัลติมิเตอร์	31
4.3 ลักษณะของเดงที่ใช้เป็นข้าวอิเล็กโตรด	33

## สารบัญภาพ (ต่อ)

ภาพ	หน้า
4.4 การต่อวงจรที่ใช้ในการทดลองครั้งที่ 1	33
4.5 ลักษณะข้ออิเล็กโทรดจากแผ่นทองแดงที่นำมาดัด	35
4.6 ลักษณะการพัฒนาวดบริเวณแกนปฐมภูมิและลักษณะการหยุดการซิลิโคน	36
4.7 ผลการทดลองครั้งที่ 3	37
4.8 วงจรกำเนิดสัญญาณแบบรวมเข้ากับ NE 555	39
4.9 หลอดแก้วควบคุม	40
4.10 ผลการทดลองครั้งที่ 4	41
4.11 ชิ้นคงที่ของ Mosfet IRF630A ที่ได้ทำการเปลี่ยน	41
4.12 จำนวนที่ทำจากชุปเปอร์ลีน	42
4.13 probe สำหรับทดสอบความสามารถของการทดลองครั้งที่ 5	43
4.14 ผลการทดลองครั้งที่ 5	44
4.15 จำนวนที่ทำจากชุปเปอร์ลีนที่เกิดการเผาไหม้	45
4.16 ผลการทดลองครั้งที่ 6	46
4.17 ข้อต่อลมที่เกิดการเผาไหม้	46
4.18 probe สำหรับทดสอบความสามารถของการทดลองครั้งที่ 7	47
4.19 การทำจำนวนที่ขากาวด์ของตัวฟลายแบคคอนเวอร์เตอร์	49
4.20 การต่อชุดควบคุมอัตราการไฟเล็ก้าของ experimentation ครั้งที่ 9	51
4.21 ตัวกำเนิดสัญญาณจะจรวจความถี่พัลส์แบบที่สามารถปรับค่าความถี่และค่าเบอร์เซ็นต์ได้ตั้งแต่ 0% ไปจนถึง 100% ได้	52
4.22 probe สำหรับทดสอบความสามารถของการทดลองครั้งที่ 10	53
4.23 ข้อต่อลมที่ทำจากชุปเปอร์ลีน	55
4.24 probe สำหรับทดสอบความสามารถของการทดลองครั้งที่ 11	55
4.25 ผลการทดลองครั้งที่ 11	56
4.26 ผลการทดลองครั้งที่ 12	57
4.27 ผลการทดลองครั้งที่ 13	58
4.28 ทำการติดตั้งบันไดตาลฟรุกโตสไซร์รับ	59
4.29 ผลทดสอบด้วยเครื่องนิวเคลียร์แมกнетิกเรโซแนนซ์สเปกโตรสโคปีของน้ำตาลฟรุกโตสไซร์รับ	60

## สารบัญภาพ (ต่อ)

ภาพ	หน้า
4.30 ผลทดสอบด้วยเครื่องนิวเคลียร์แมกเนติกเรโซแนนซ์สเปกโตรสโคปของน้ำตาลฟรุกโตสไซร์ปที่ได้ทำการดิสชาร์จ	61

## บทที่ 1

### บทนำ

#### 1.1 ความสำคัญ และที่มาของปัญหาที่ทำโครงการ

เนื่องจากปัจจุบันมีผู้ป่วยเป็นโรคเบาหวานจำนวนมากและได้เสียชีวิตในเวลาต่อมา โดยข้อมูลค่าเฉลี่ยของผู้ป่วยโรคเบาหวานในประเทศไทยในแต่ละปีนั้นมีจำนวนเพิ่มขึ้นทุกๆ ปี และมีแนวโน้มจะเพิ่มขึ้นอย่างต่อเนื่อง ดังแสดงในภาพ 1.1

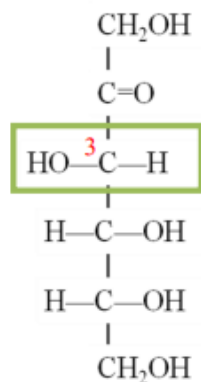


ภาพ 1.1 จำนวนผู้ป่วยโรคเบาหวานในประเทศไทยปี 2551 – 2558

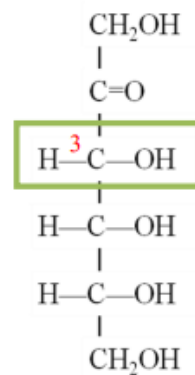
ที่มา : ฐานข้อมูลผู้ป่วยรายบุคคลในหลักประกันสุขภาพถ้วนหน้า

สาเหตุของการเกิดโรคเบาหวานนั้นมีหลายสาเหตุ เช่น กรรมพันธุ์ อายุที่มากขึ้น ความอ้วน การได้รับยาบางชนิด และการรับประทานอาหาร ซึ่งการรับประทานอาหารนั้นเป็นสาเหตุที่หลักเลี้ยงได้ยากโดยอาหารที่มีสugar ส่วนใหญ่จะมีองค์ประกอบคือน้ำตาลเป็นหลักจึงทำให้น้ำตาลนั้นเป็นตัวแปรสำคัญที่ทำให้คนเป็นโรคเบาหวาน นักวิทยาศาสตร์จึงได้พยายามคิดค้นน้ำตาลที่ดีต่อสุขภาพที่ให้ความหวานแต่ไม่มีแคลอรี่ โดยน้ำตาลกล่ำมาก็คือ น้ำตาลหายาก (Rare Sugar) ถูกค้นพบโดยมหาวิทยาลัยคากาวา (Kagawa University) โดยขั้นตอนในการทำน้ำตาลหายากนั้นคือ การนำน้ำตาลธรรมชาตินั้นมาเปลี่ยนเป็นน้ำตาลหายากโดยใช้เอนไซม์จากจุลินทรีย์ที่แยกมาจากดินใช้เป็น

ตัวเรื่องปฏิกริยาเปลี่ยนน้ำตาลธรรมชาติเป็นน้ำตาลหิวยากซึ่งเป็นการทำให้โครงสร้างทางผลึกของน้ำตาลเปลี่ยนไปจากเดิมแสดงดังภาพ 1.2



(ก) โครงการสร้างน้ำتاลฟรุกโตสไซรป



(ข) โครงสร้างน้ำตาลดีไซโคส

ภาพ 1.2 โครงสร้างน้ำตาลฟรุกโตสไซร์ปและน้ำตาลหายาก (Rare Sugar) (ก) และ (ข)  
ที่มา : <https://pharm.tu.ac.th>

แต่น้ำตาลหมายกันนั้นยังมีข้อจำกัดในการผลิตซึ่งต้องใช้เวลาในการผลิตเป็นระยะเวลาโดยในระยะเวลา 1 วัน จะสามารถผลิตเกล็ดน้ำตาลหมายได้ในปริมาณ 1 กิโลกรัม จึงทำให้มีการตั้งสมมติฐานที่จะนำเทคโนโลยีพลาสมามาประยุกต์ใช้เพื่อช่วยลดขั้นตอนการผลิตของน้ำตาลหมายในการจับตัวของโครงสร้างทางเคมีของจุลินทรีย์กับน้ำตาล โดยเทคโนโลยีพลาสม่าที่จะนำมาใช้นี้คือระบบพลาสม่าเจ็ทที่ถูกพัฒนามาเพื่อใช้ในการช่วยตัดพันธะไฮโดรเจนในน้ำตาลฟรูตโตสที่เป็นสารตั้งต้นเพื่อให้ได้น้ำตาลหมาย จึงส่งผลให้สามารถช่วยลดระยะเวลาในการผลิตน้ำตาลหมายได้และยังช่วยเพิ่มปริมาณการผลิตน้ำตาลหมายได้

## 1.2 วัตถุประสงค์

ออกแบบและสร้างระบบเครื่องพลาสม่าเจ็ตที่ความดันบรรยากาศเพื่อนำมาใช้ในการแตกตัวของพันธุ์ไฮโดรเจนในน้ำตาลฟรุกโตส

### 1.3 ขอบเขตการศึกษา

- 1.3.1 สร้างระบบโดยพัฒนาจากการจราจรฝ่ายแบนค่อนเวอร์เตอร์รวมกับวงจรควบคุมความถี่
  - 1.3.2 ทดสอบระบบโดยยิงน้ำตาลฟรุกโตสไซรัป (Fructose Syrup) ที่เป็นน้ำเชื่อมแล้วตรวจสอบแตกตัวพันธุ์ไฮโดรเจนในน้ำตาลฟรุกโตสไซรัป (Fructose Syrup)

#### 1.4 ประโยชน์ที่คาดว่าจะได้รับ

1.4.1 เครื่องพลาสม่าเจ็ตที่พัฒนาขึ้นที่ความดันบรรยากาศที่สามารถนำไปประยุกต์ในโครงการอื่นที่จำเป็นต้องใช้ในคณะวิศวกรรมศาสตร์มหาวิทยาลัยเชียงใหม่

1.4.2 ได้เครื่องต้นแบบที่สามารถนำมาประยุกต์ใช้ในการลดระยะเวลาการผลิตน้ำตาลหヤาก

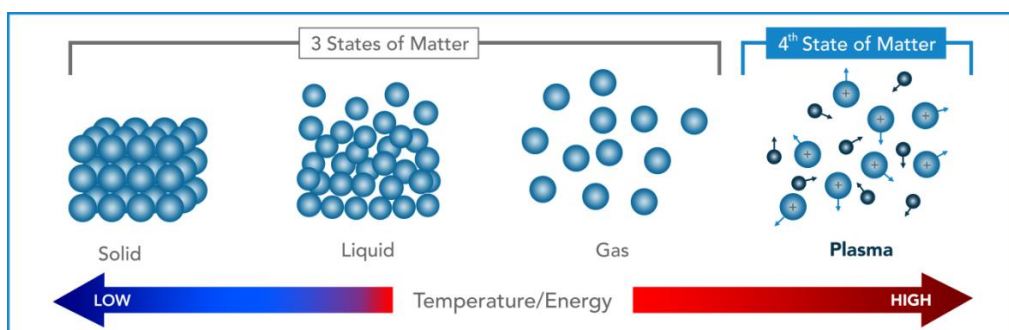
## บทที่ 2

### หลักการและทฤษฎีที่เกี่ยวข้อง

#### 2.1 พลาสma

##### 2.1.1 คุณลักษณะของพลาสma

โดยทั่วไปเมื่อสารได้รับพลังงานที่เหมาะสมจะมีการเปลี่ยนแปลงลักษณะและคุณสมบัติดังภาพ 2.1 ในทางฟิสิกส์สถานะของพลาสma คือสถานะที่ 4 ของสาร ถูกค้นพบโดย เชอร์ วิลเลียม ครูกส์ (Sir William Crookes) ในปี ค.ศ. 1879 และในปี ค.ศ. 1928 เออร์ริง แลงเมียร์ (Irving Langmuir) ได้เรียนกษาสถานะที่ 4 ทางฟิสิกส์ว่า พลาสma (Plasma) พลาสma ประกอบด้วยอนุภาคที่มีประจุบวกและลบจึงปลดปล่อยคลื่นแม่เหล็กไฟฟ้าได้ และอะตอมที่มีประจุสุทธิเป็นศูนย์เรียกว่า “Quant Neutral” พฤติกรรมทั้งหมดเรียกว่า “Collective Behavior”

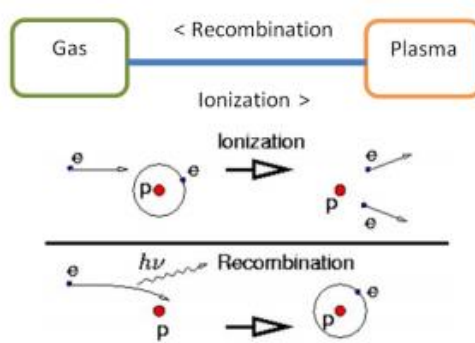


ภาพ 2.1 การเปลี่ยนสถานะของสารเมื่อได้รับพลังงาน

ที่มา : <http://tetrionics.com/assets/plasma-diagram.png>

กระบวนการการเกิดพลาสma จากสถานะ กําชลักษณะทั่วไปทำโดยการให้พลังงานที่มีปริมาณมากแก่กําชในการกระตุ้นอย่างต่อเนื่อง เมื่อกําชได้รับพลังงานที่มีค่ามากพอที่จะทำให้อิเล็กตรอนหลุดออกจากอะตอมโดยกระบวนการนี้เรียกว่า “กระบวนการแตกตัวเป็นไอออน” (Ionization) ซึ่งเป็นกระบวนการที่เกิดขึ้นอย่างรวดเร็ว นอกจากกระบวนการที่ได้กล่าวมา อิเล็กตรอนที่มีพลังงานเหลือ

จากการชนและไออ่อนบางส่วนสามารถกลับมารวมตัวกลับเป็นอะตอมเดิมและคายพลังงานออกมายังรูปแบบคลื่นแม่เหล็กไฟฟ้าและรังสียูวีโดยกระบวนการที่ได้กล่าวมาเรียกว่า กระบวนการรวมตัว (Recombination) ดังภาพ 2.2



ภาพ 2.2 กระบวนการเกิดพลาสมาจากสถานะกําช

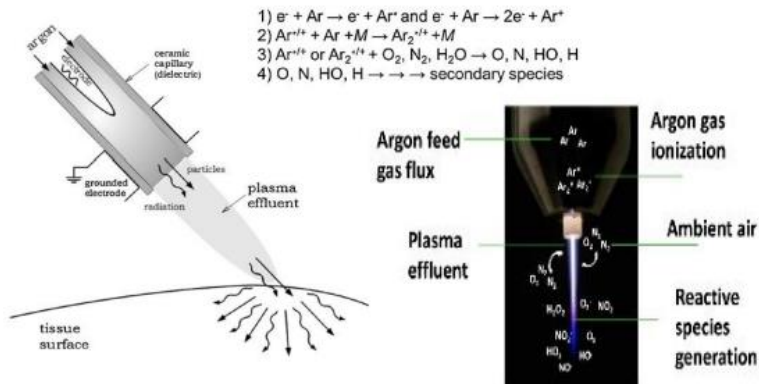
ที่มา : <http://silas.psfc.mit.edu>

### 2.1.2 พลาสมาทางเคมี

ในทางเคมีพลาสมาประกอบด้วย อนุพันธ์ออกซิเจนและไนโตรเจนที่ว่องไว (Reactive Oxygen and Nitrogen Species : RONS) กระบวนการไอออกไซด์ในเชื้อเพลิงของกําชาร์กอนที่ทำให้เกิดอนุพันธ์ออกซิเจนที่ว่องไวและอนุพันธ์ไนโตรเจนที่ว่องไวดังตาราง 2.1 และภาพ 2.3

ตาราง 2.1 กระบวนการไอออกไซด์ในเชื้อเพลิงและพลังงานทั้งหมดของอะตอมอาร์กอนที่ใช้สำหรับทำให้เกิดกระบวนการไอออกไซด์ในเชื้อเพลิง

Reaction	Formula	Type	$\Delta E$ (eV)
1	$e + Ar \rightarrow e + Ar$	Elastic	0
2	$e + Ar \rightarrow e + Ar_s$	Excitation	11.5
3	$e + Ar^* \rightarrow e + Ar$	Superelastic	-11.5
4	$e + Ar \rightarrow 2e + Ar^+$	Ionization	15.8
5	$e + Ar^* \rightarrow 2e + Ar^+$	Ionization	4.427
6	$Ar^* + Ar^* \rightarrow e + Ar + Ar^+$	Penning Ionization	---
7	$Ar^* + Ar \rightarrow Ar + Ar$	Metastable quenching	---



ภาพ 2.3 ปฏิกิริยาที่เป็นไปได้มีการเกิดการกระตุ้นของกําชาร์กอนที่ทำให้เกิดอนุพันธ์ออกซิเจนที่ว่องไวและอนุพันธ์ในโตรเจนที่ว่องไว

ที่มา : <http://cuir.car.chula.ac.th>

### 2.1.3 การแบ่งชนิดของพลาสม่า

Non-Thermal (NT) Plasmas		Thermal Plasmas
“Cold” Non-Thermal Plasmas	Translational (“Hot NT”) Plasmas	
$T_i \approx T_g \approx 300 \dots 400\text{K}$	$T_i \approx T_g \leq 10^4 \dots 10^5\text{ K}$	$T_i \approx T_g \approx T_e$
$T_i \ll T_e < 10^5\text{ K}$ (10 eV)	$T_i \approx T_g \leq 4 \times 10^3\text{ K}$	$T_x < 5 \times 10^3 \dots 10^4\text{K}$

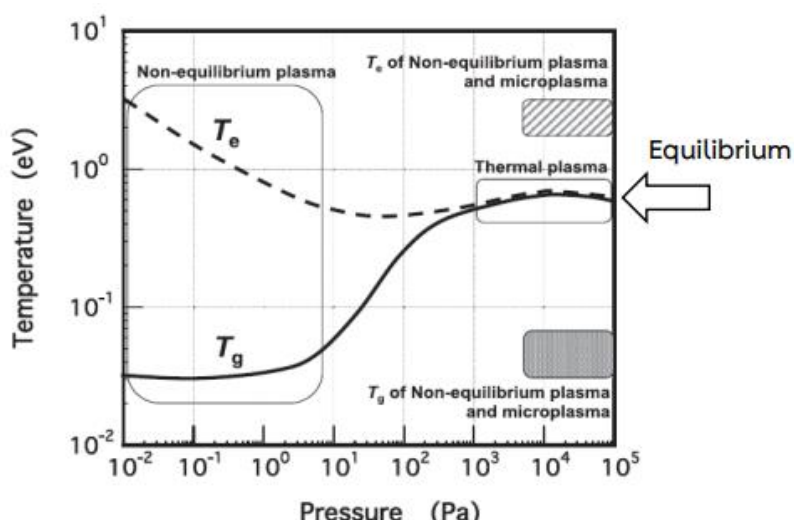
ภาพ 2.4 เปรียบเทียบคุณสมบัติของพลาสม่าที่เกิดขึ้นแบ่งตามอุณหภูมิ

ที่มา : <http://cuir.car.chula.ac.th>

พลาสมาสามารถแบ่งตามอุณหภูมิออกเป็น 2 แบบ คือ พลาสมาร้อน (Hot Plasma) และ พลาสมายืด (Cold Plasma) โดยพลาสมาร้อนเกิดจากการให้พลังงานที่มากพอ กับ กําช ให้ความดัน สุญญากาศ ทำให้ กําช แตกตัว เป็น ไออ่อน (Ionization) อุณหภูมิของ อิเล็กตรอน เท่า กับ อุณหภูมิ ของ ไออ่อน และ อนุภาค ที่ เป็น กลา ง อุณหภูมิ รวม ของ พลาสม่า ที่ เกิด ทั้ง หมด จะ สูง ตาม ค่า ของ พลังงาน แต่

เพราะมีต้นทุนที่สูง จึงได้มีการพัฒนาพลาสม่าแบบเย็นขึ้น โดยพลาสม่าแบบเย็นเกิดจากการให้พลังงานกระตุ้นสถานะกําชภายในให้ความดันบรรยายกาศและอุณหภูมิห้องที่ทำให้กําชเกิดการแตกตัวบางส่วน ซึ่งทำให้อุณหภูมิของไอออกตัว สามารถลดอุณหภูมิได้อย่างรวดเร็วจนถึง อุณหภูมิห้อง เพื่อเปรียบเทียบคุณสมบัติของพลาสม่าที่เปลี่ยนอุณหภูมิตั้งภาพ 2.4

โดยทั่วไปอิเล็กตรอนมีมวลน้อยกว่าไอออกประมาณ  $10^3 - 10^4$  เท่า อิเล็กตรอนจึงต้องใช้ พลังงานสูงมากในการเคลื่อนที่ในสนามแม่เหล็กไฟฟ้าที่มีความดันสูง และที่ความถี่มากทำให้เกิดการถ่ายเทพลังงานของอิเล็กตรอนและอะตอมของกําชเข้าสู่ภาวะสมดุลที่อุณหภูมิของอิเล็กตรอน ( $T_e$ ) เท่ากับอุณหภูมิของกําช ( $T_g$ ) ความหนาแน่นของพลาสมารอยู่ในช่วง  $10^{16} - 10^{19}$  เราจะเรียกพลาสม่า ที่เกิดขึ้นนี้ว่าพลาสม่าที่สภาวะสมดุล (Equilibrium Plasma) ดังภาพ 2.5

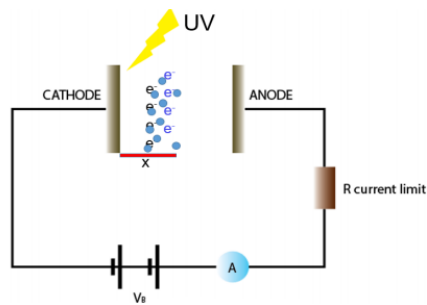


ภาพ 2.5 กราฟความสัมพันธ์ระหว่างอุณหภูมิและความดันในการเกิดพลาสม่าที่ความดันต่างๆ

ที่มา : <http://cuir.car.chula.ac.th>

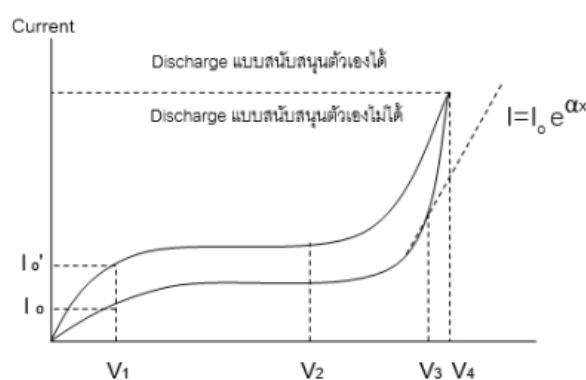
## 2.2 การเบรกดาวน์ของสถานะกําช (Breakdown of Gas)

โดยปกติกําชมีคุณสมบัติเป็นฉบวนแต่เมื่อมีการป้อนแรงดันไฟฟ้าเข้าไปที่ข้าวอิเล็กโทรดใน ตัวกลางที่มีสถานะกําช จะเกิดกระแสไฟฟ้าไหลผ่านจำนวนมากเกินค่าที่ฉบวนจะทนได้ จึงเปลี่ยนเป็น นำไฟฟ้า เรียกกระบวนการนี้ว่า “การเบรกดาวน์” (Breakdown) โดยค่าแรงดันไฟฟ้าที่ทำให้เกิด กระบวนการเบรกดาวน์เรียกว่า “แรงดันไฟฟ้าเบรกดาวน์” (Breakdown Voltage) ซึ่งสามารถ อธิบายกลไกการเบรกดาวน์ได้จากทฤษฎีของ Townsend โดย Townsend ได้ทำการศึกษาการ เปลี่ยนแปลงระหว่างอิเล็กโทรดแบบบนดังภาพ 2.6 เมื่อแสงยูวีทำให้อิเล็กตรอนหลุดจากข้าวแครอฟท์ และกลุ่มอิเล็กตรอนเหล่านี้จะเคลื่อนที่ไปยังข้าวแครอฟท์และมีการชนเข้ากับอะตอมกําชและเกิดไอออก บวกและอิเล็กตรอนกลุ่มใหม่เกิดขึ้นซึ่งทุกๆ ระยะห่างจากแครอฟท์เท่ากับ  $\lambda$  แสดงดังภาพ 2.7



ภาพ 2.6 วงจรที่ใช้ในการทดลองของ Townsend

ที่มา : <http://cuir.car.chula.ac.th>



ภาพ 2.7 กราฟการเบรกดาวน์ของก๊าซ

ที่มา : <http://cuir.car.chula.ac.th>

โดย Townsend อธิบายว่าเมื่อมีการเพิ่มแรงดันไฟฟ้าในการเบรกดาวน์จนถึง  $V_3$  จะมีการเกิดไออ่อนในชั้นที่ทำให้ให้จำนวนอิเล็กตรอนเพิ่มขึ้นจึงเป็นเหตุให้กระแสเพิ่มขึ้นเป็นแบบ Exponential อยู่ในกระบวนการของ Alpha ( $\alpha$  Process) สามารถคำนวณกระแสเฉลี่ยในช่องว่างระหว่างอิเล็กโทรดได้จากสมการ 2.1

$$I = I_0 e^{\alpha x} \quad (2.1)$$

แต่หลังจากเพิ่มแรงดันไฟฟ้ามากกว่า  $V_3$  จะเกิดกระบวนการ Gamma ( $\gamma$  Process) สามารถคำนวณกระแสไฟฟ้าที่สภาวะคงที่จากสมการ 2.2

$$I = \frac{I_0 e^{\alpha x}}{1 - \gamma(e^{\alpha x} - 1)} \quad (2.2)$$

เมื่อ  $I_0$  = กระแสเริ่มต้นที่ข้าวแคคโตด

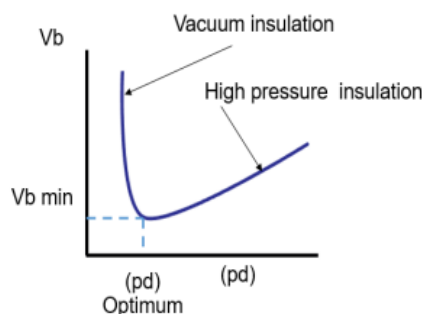
$\alpha$  = สัมประสิทธิ์ไออ้อนเชิงตัวแรกของ Townsend

$x$  = ระยะห่างจากแคคโตด

$\gamma$  = สัมประสิทธิ์ไออ้อนเชิงตัวที่สองของ Townsend

ในเวลาต่อมา Paschen ได้ทำการศึกษาการเบรกดาวน์ของก๊าซในที่ระดับความดันของก๊าซในแต่ละชนิดสามารถคำนวณแรงดันไฟฟ้าเบรกดาวน์ ( $V_b$ ) ได้จากสมการ 2.3 ซึ่งสามารถแสดงได้ดังภาพ 2.8

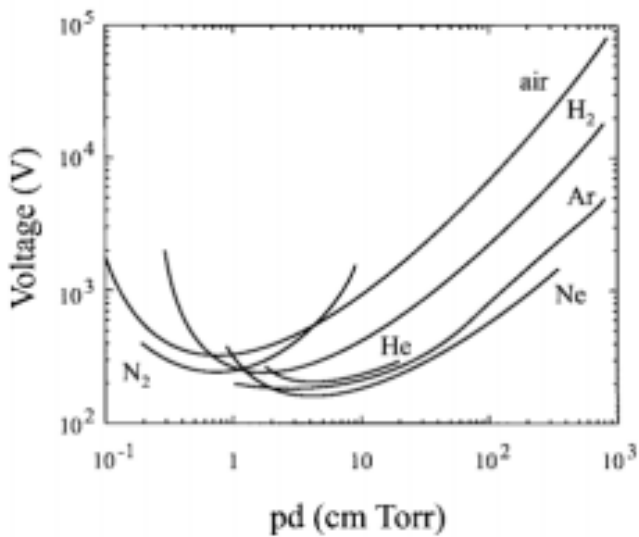
$$V_b = f(pd) \quad (2.3)$$



ภาพ 2.8 กราฟความสัมพันธ์ระหว่าง  $pd$  และ  $V_b$  ตามกฎของ Paschen

ที่มา : <http://cuir.car.chula.ac.th>

Paschen พบว่าก๊าซทุกชนิดจะมีค่า  $pd$  ที่เหมาะสมที่สุดซึ่งเป็นค่าแรงดันไฟฟ้าเบรกดาวนมีค่าต่ำสุดดังภาพ 2.9 และตาราง 2.2 เมื่อระยะห่างระหว่างอิเล็กโทรดมีค่าเท่ากันจะเห็นได้ว่าทั้งสองข้างของจุดต่ำสุดของกราฟแรงดันไฟฟ้าเบรกดาวน์จะมีค่าเพิ่มสูงขึ้น โดยที่ความดันต่ำและความหนาแน่นของก๊าซต่ำ ทำให้การเกิดไออ้อนเชิงตัวต่ำที่ความดันสูงความถี่ของการชนมีสูง



ภาพ 2.9 กราฟความสัมพันธ์ระหว่าง  $pd$  และ  $V_b$  ตามกฎของ Paschen ของกําชชนิดต่างๆ

ที่มา : <http://cuir.car.chula.ac.th>

ตาราง 2.2 แรงดันไฟฟ้าต่ำสุดเพื่อทำให้เกิดประกายไฟ (Sparking) ของกําชชนิดต่างๆ

กําชชนิดต่างๆ	$V_b$ น้อยที่สุด (V)	$Pd$ ที่ $V_b$ น้อยที่สุด (torr-cm)
Air	327	0.567
Argon	137	0.9
$H_2$	273	1.15
Helium	156	4.0
$CO_2$	420	0.51
$N_2$	251	0.67
$N_2O$	418	0.5
$O_2$	450	0.7
$SO_2$	457	0.33
$H_2S$	414	0.6

## 2.3 กระบวนการที่เกิดการเบรกดาวน์ของสถานะก๊าซ

### 2.3.1 การแตกตัวเป็นไอออน

เมื่อก๊าซได้รับพลังงานที่มากพอที่จะทำให้อิเล็กตรอนวงนอกสุดหลุดออกจากอะตอม กระบวนการที่ทำให้เกิดการแตกหักเป็นไอออนประกอบด้วย 3 กระบวนการ ได้แก่ การแตกตัวเป็นไอออนเนื่องจากการชน (Collision Ionization) การแตกตัวเป็นไอออนจากแสง (Photo Ionization) และการแตกตัวเป็นไอออนทุติยภูมิ (Secondary Ionization)

### 2.3.2 การเกาะกันของอิเล็กตรอน

เป็นกระบวนการการชนระหว่างอิเล็กตรอนกับอะตอมที่เป็นกลางแล้วกลایเป็นไอออนลบดังสมการ 2.4



เมื่อ  $Ea$  = ค่าสมการค่าอิเล็กตรอน (Electron Affinity)

$K$  = ค่าพลังงานจลน์ (Kinetic Energy)

### 2.3.3 การรวมตัวกัน (Recombination)

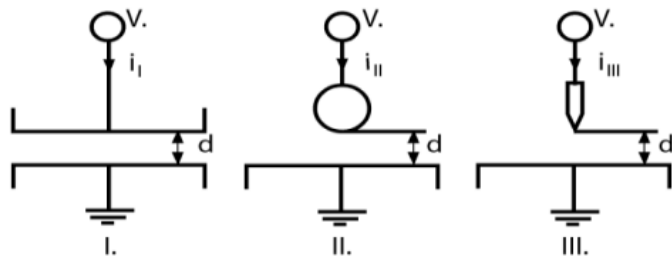
เป็นกระบวนการไอออนบวกและไอออนลบเกิดการรวมตัวกันและทำการ cavity พลังงานออกมานิรูปของการแผ่รังสี ( $h\nu$ ) ซึ่งสามารถเขียนได้ดังสมการ 2.5



## 2.4 สนามไฟฟ้า (Electrical field)

บริเวณไฟฟ้าที่เมื่อนำประจุไฟฟ้าเข้าไปวางจะเกิดแรงกระแทกบประจุไฟฟ้า ซึ่งทิศทางของสนามไฟฟ้าสามารถเขียนโดยใช้เส้นแรงไฟฟ้า เมื่ออิเล็กโตรดที่มีรูปร่างต่างกันและจัดระยะห่างระหว่างอิเล็กโตรดเท่ากับ  $d$  มิลลิเมตร แล้วป้อนแรงดันไฟฟ้าที่ขึ้นอิเล็กโตรดเท่ากันดังภาพ 2.10 จะได้สนามไฟฟ้าที่แตกต่างกันดังภาพ 2.11 โดยสนามไฟฟ้าที่เกิดกับอิเล็กโตรดที่มีรูปร่างแบบที่ 1. ที่

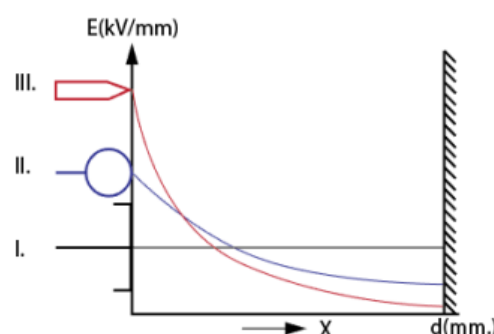
แสดงถึงค่าสนามไฟฟ้าที่เท่ากันทุกจุดในช่องว่างระหว่างอิเล็กโทรดเมื่อค่าเท่ากันเรียกวิธีการเกิดสนามไฟฟ้าที่เกิดอิเล็กโทรดแบบนี้ว่า สนามไฟฟ้าแบบสม่ำเสมอ ทำให้ค่าความเครียดสนามไฟฟ้า ( $E_{av}$ ) และค่าความเครียดสนามไฟฟ้าสูงสุด ( $E_{max}$ ) มีค่าเท่ากันดังสมการ 2.6



1. สนามไฟฟ้าแบบสม่ำเสมอ
2. สนามไฟฟ้าแบบไม่สม่ำเสมออยู่
3. สนามไฟฟ้าแบบไม่สม่ำเสมอสูง

ภาพ 2.10 อิเล็กโทรด 3 แบบ

ที่มา : <http://cuir.car.chula.ac.th>



ภาพ 2.11 การเปรียบเทียบเที่ยบสนามไฟฟ้าของอิเล็กโทรดทั้ง 3 แบบ ที่ระยะห่างระหว่างอิเล็กโทรดต่างๆ

ที่มา : <http://cuir.car.chula.ac.th>

$$Emax = Eav = \frac{V}{d} \quad (2.6)$$

เมื่อ  $V$  = แรงดันไฟฟ้าที่ป้อนให้กับอิเล็กโทรด

$d$  = ช่องว่างระหว่างอิเล็กโทรด

โดยสามารถคำนวณความเครียดที่ทำให้เกิดเบรกดาวน์ ( $Ed$ ) ดังสมการ 2.7 และ  $Vb$  คือ แรงดันไฟฟ้า ซึ่งเป็นแรงดันไฟฟ้าที่ทำให้เกิดการเบรกดาวน์ด้วยสนามไฟฟ้าสมมำสเมอ

$$Eb = \frac{Vb}{d} \quad (2.7)$$

ซึ่งการเกิดสนามไฟฟ้ากับอิเล็กโทรดที่มีรูปร่างแบบ 2. และ 3. สนามไฟฟ้าแต่ละจุดมีค่าแตกต่างกันจึงเรียกว่าแบบไม่สมมำสเมอ 2 กรณี ได้แก่

#### 2.4.1 สนามไฟฟ้าแบบไม่สมมำสเมอน้อย

สนามไฟฟ้าแบบไม่สมมำสเมอน้อยจะมีรูปร่างทรงกลมซึ่งความเครียดของสนามไฟฟ้าสูงสุดจะเกิดบริเวณพื้นผิวของทรงกลมสามารถคำนวณจากสมการ 2.8

$$Emax = \frac{V}{d\eta} \quad (2.8)$$

โดย  $\eta$  คือเฟกเตอร์ของสนามไฟฟ้า (Field Utilization Factor) ที่บอกถึง สนามไฟฟ้าที่มีความสมมำสเมอมากหรือน้อย และยังสามารถหาความเครียดจากสมการ 2.9

$$Eb = \frac{Vb}{d\eta} \quad (2.9)$$

#### 2.4.2 สนามไฟฟ้าแบบไม่สมมำสเมอสูง

สนามไฟฟ้าแบบไม่สมมำสเมอสูง ค่าความเครียดสนามไฟฟ้า จะสูงที่บริเวณพื้นผิวน้อยที่สุด ของอิเล็กโทรด นั่นก็คือปลายแหลม ทำให้เกิด โคโรนาพรีดิสชาร์จ (Corona Predischarge) และยังไม่เกิดบริเวณอื่น เนื่องจากมีค่าความเครียดสนามไฟฟ้าต่ำจึงสามารถเรียกการเกิดนี้ว่า ดิสชาร์จ

บางส่วน (Partial Discharge) ซึ่งกระแทกไฟฟ้าที่วัดได้ก่อนการเกิดเบรกดาวน์เรียกว่า กระแทกโคโรนา (Corona Circuit) และสามารถคำนวณความเครียดของสนามไฟฟ้าที่แรงดันเริ่มเกิด  $E_i$  ดังสมการ 2.10

$$E_i = \frac{Vi}{d\eta} \quad (2.10)$$

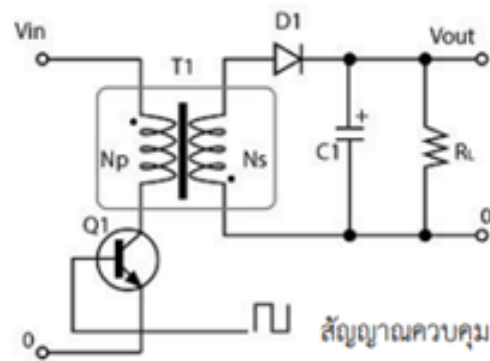
เมื่อ  $Vi$  = แรงดันไฟฟ้าที่ป้อนเมื่อจนโคโรนาเริ่มเกิด

## 2.5 วงจรขั้บหม้อแปลงความถี่สูง

วงจรขั้บหม้อแปลงความถี่สูงหรือเรียกว่า “คอนเวอร์เตอร์” (Converter) มีความสามารถเปลี่ยนแรงดันไฟฟ้าขาเข้า (Input) ให้ได้แรงดันไฟฟ้าขาออก (Output) ตามความต้องการ โดยวงจรคอนเวอร์เตอร์มีหลายรูปแบบ ซึ่งมีข้อควรพิจารณาในการเลือกรูปแบบดังนี้ การแยกกันทางวงจรไฟฟ้าระหว่างอินพุตกับเอาต์พุต ค่าแรงดันไฟฟ้ากระแสตรงทางอินพุตที่ส่งผ่านไปยังชุดควบคุม ภูมิค่ากระแสสูงสุดที่แหล่งอุปกรณ์ที่ทำหน้าที่เป็นสวิตซ์ขณะทำงาน และค่าแรงดันไฟฟ้าสูงสุดที่ตกลงร่วมอุปกรณ์ที่ทำหน้าที่เป็นสวิตซ์ขณะทำงาน

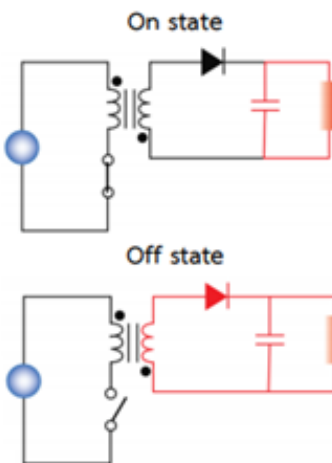
## 2.6 วงจรฟลายแบคคอนเวอร์เตอร์

วงจรฟลายแบคคอนเวอร์เตอร์ประกอบไปด้วย  $Q_1$  คือ เพาเวอร์ทรานซิสเตอร์ (Mosfet) ทำหน้าที่เป็นสวิตซ์ ส่วน  $T_1$  คือ หม้อแปลง ซึ่งถูกกำหนดขนาดปฐมภูมิ (Primary) และขนาดทุติยภูมิ (Secondary) ให้มีลักษณะกับเฟสตรงกันอยู่และต่อได้โดย ดังภาพ 2.12



ภาพ 2.12 วงจรฟลายแบคคอนเวอร์เตอร์

ที่มา : <http://cuir.car.chula.ac.th>



ภาพ 2.13 การทำงานของวงจรฟลายแบคคอนเวอร์เตอร์

ที่มา : <http://cuir.car.chula.ac.th>

โดยการทำงานของวงจรฟลายแบคคอนเวอร์เตอร์เริ่มจาก ภาพ 2.13 ซึ่งเริ่มจาก  $Q_1$  นำกระแสสัญญาณคลื่นสี่เหลี่ยมในช่วง  $T_{on}$  เปรียบเสมือนการปิดสวิตช์ ทำให้ขัดลวดปฐมภูมิของหม้อแปลง  $T_1$  ต่อเข้าโดยตรงกับ  $+V_{in}$  กระแสไฟฟ้าจึงสามารถไหลผ่านขดลวดปฐมภูมิเกิดเป็นสนามแม่เหล็กขึ้นไปเหนี่ยวนำขดลวดทุติยภูมิ แต่แรงดันที่เกิดขึ้นต่อกับไดโอดในลักษณะใบแอกลับกระแสไฟฟ้าจึงไม่ไหลผ่านโหลด ทำให้พลังงานทั้งหมดคงลับไปสะสมภายในหม้อแปลง  $T_1$  ต่อมาเมื่อ  $Q_1$  นำกระแสสัญญาณคลื่นสี่เหลี่ยมในช่วง  $T_{off}$  เปรียบเสมือนการเปิดสวิตช์ ทำให้สนามแม่เหล็กเกิดการยุบตัวลง และเกิดการกลับเฟสตามกฎของเลนซ์ เกิดการไปแอกตรงที่ไดโอด  $D_1$  พลังงานทั้งหมดที่

ถูกสะสมในหน้าจอและจะถูกถ่ายเทไปให้ขาดความทุติยภูมิและเกิดการไหลของกระแสไปยังโอลด์ วงจรฟลายแบคค่อนเวอร์เตอร์สามารถหาค่าแรงดันเอาต์พุต (Output) ดังสมการ 2.11

$$V_{out} = \frac{t_{ON} \times \left( \frac{N_s}{N_p} \right) (V_{in} - V_{CE(sat)})}{(T - t_{ON})} - V_D \quad (2.11)$$

เมื่อ  $T$  = คาบเวลาการทำงานของ  $Q_1$  หน่วยเป็นวินาทีต่อรอบ

$t_{ON}$  = ช่วงเวลาการทำงานของ  $Q_1$  หน่วยเป็นวินาที

$N_p$  = จำนวนรอบของขดไฟร์มาเร่ หน่วยเป็นรอบ

$N_s$  = จำนวนรอบของขดเซคันดารี่ หน่วยเป็นรอบ

$V_{out}$  = แรงดันที่เอาต์พุตของค่อนเวอร์เตอร์ หน่วยเป็นโวลต์

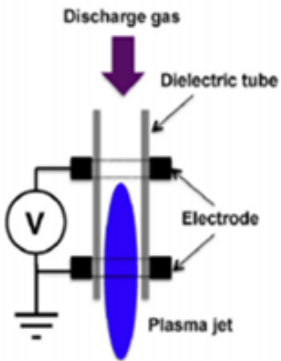
$V_{in}$  = แรงดันที่อินพุตของค่อนเวอร์เตอร์ หน่วยเป็นโวลต์

$V_{CE(sat)}$  = แรงดันตกคร่อม  $Q_1$  ขณะนำกระแสที่จุดอิมตัว หน่วยเป็นโวลต์

$V_D$  = แรงดันตกคร่อมไดโอด  $D_1$  ขณะนำกระแส หน่วยเป็นโวลต์

## 2.7 พลasmaแบบเจ็ตในความดันบรรยากาศโครงสร้างแบบวงแหวน

ระบบที่เปลวพลasmaปล่อยออกมานี้ปลายปะบอเล็กโอลด์ในพื้นที่เปิดซึ่งมีความยาวของเปลวพลasmaเป็นหน่วยเซนติเมตร โดยส่วนใหญ่นำมาประยุกต์ใช้ด้านชีวภาพแพทย์ โครงสร้างแบบวงแหวนดังภาพ 2.14 จะประกอบด้วยข้ออิเล็กโอลด์ที่ทำมาจากโลหะ วงวนจำนวน 2 วงอยู่ด้านนอกของปะบอเล็กโอลด์ เมื่อมีการปล่อยให้กําชีลือย เช่น กําชีลือย และกําชีลือย ก่อนให้ผ่านหลอดไอดิอลีกติกและมีการป้อนแรงดันไฟฟ้าในหน่วยกิโลโวลต์ จะมีการเกิดเปลวของพลasmaเย็นออกมาน้ำที่อากาศอบนอก



ภาพ 2.14 โครงสร้างแบบวงแหวน ของพลาสม่าแบบเจ็ตที่ความดันบรรยายกาศ

ที่มา : <http://cuir.car.chula.ac.th>

## 2.8 วิธีการวิเคราะห์คุณสมบัติของพลาสม่า

การนำเอาพลาสมามาประยุกต์ใช้จำเป็นที่จะต้องตรวจวิเคราะห์อุณหภูมิของอิเล็กตรอน ( $T_e$ ) และความหนาแน่นของอิเล็กตรอน ( $n_e$ ) โดยวิธี Optimal Emission Spectroscopy (OES) โดยพิจารณาจากสเปกตรัมความเข้มของพลังงานของอะตอมที่แสดงถึงอุณหภูมิของอิเล็กตรอน ( $T_e$ ) และความหนาแน่นของอิเล็กตรอน ( $n_e$ ) สามารถคำนวณได้จากสมการ Blotzmann-Saha ดังสมการ 2.12

$$KT_e = E_2 - \frac{E_1}{\log(I_1 \lambda_1 g_2 A_2 / I_2 \lambda_2 g_1 A_1)} \quad (2.12)$$

เมื่อ  $I$  = ความเข้มเส้นสเปกตรัม

$\lambda$  = ความยาวคลื่น

$g$  = ตัวถ่วงน้ำหนักทางสถิติ

$A$  = ความน่าจะเป็นในการเกิดการเปลี่ยนสถานะ

$E$  = พลังงานที่ให้ในการกระตุ้นให้เกิดการเปลี่ยนแปลงสถานะ

$K$  = ค่าคงที่ Blotzmann

ความหนาแน่นของอิเล็กตรอน ( $n_e$ ) สามารถคำนวณได้จากการใช้อัตราส่วนความเข้มของเส้นสเปกตรัมของอะตอมและของไอออกตามสมการ Blotzmann-Saha ซึ่งการแทนค่าอุณหภูมิของอิเล็กตรอน ( $T_e$ ) ในหน่วย eV ที่ได้จากสมการ 2.12 ลงในสมการ 2.13 โดยเส้นสเปกตรัมที่ได้จาก

เครื่อง OES จะถูกวัดในช่วงความยาวคลื่น 300 – 850 นาโนเมตร ตัวอย่างスペกตรัมที่ได้จากเครื่อง OES ดังภาพ 2.15

$$n_e = 2 \left( \frac{I_1}{I_2} \right) \left( \frac{\lambda_1}{\lambda_2} \right) \left( \frac{A_2}{A_1} \right) \left( \frac{g_2}{g_1} \right) \left[ \frac{2\pi m_e K T_e}{h^2} \right]^{\frac{3}{2}} \exp \left[ - \frac{E_1 - E_2 + E_i}{K T_e} \right] \quad (2.13)$$

เมื่อ  $E$  = พลังงานที่ถูกปล่อยจากขั้นระดับพลังงาน หน่วย อิเล็กตรอนโวลต์

$E_i$  = พลังงานไออโนเซ็นของอะtom อาร์กอนที่เป็นกลาง

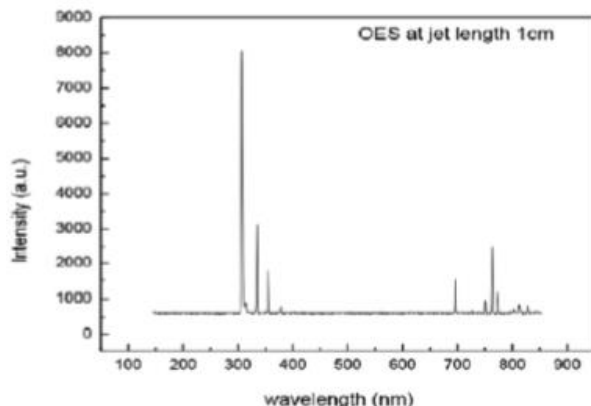
$I_1$  = ความเข้มของเส้นスペกตรัม Ar-I

$I_2$  = ความเข้มของเส้นスペกตรัม Ar-II

$m_e$  = มวลของอิเล็กตรอน มีค่าเท่ากับ  $9.1 \times 10^{-31}$  กิโลกรัม

$K$  = ค่าคงที่ของ Blotmann มีค่าเท่ากับ  $1.38 \times 10^{-23}$  จูลต่อเคลวิน

$h$  = ค่าคงที่ของ Planck มีค่าเท่ากับ  $6.626 \times 10^{-34}$  จูลวินาที



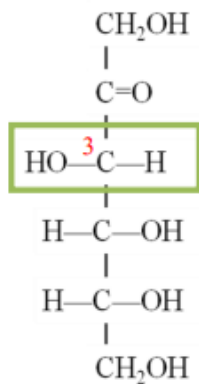
ภาพ 2.15 กราฟสเปกตรัมจากเครื่อง OES ของพลาสม่าเจ็ตที่มีความยาวเปลวพลาสม่า 1 ซม.

ที่มา : <http://cuir.car.chula.ac.th>

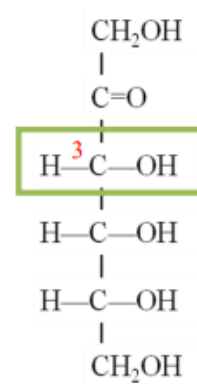
## 2.9 น้ำตาลหายาก (Rare Sugar)

น้ำตาลที่สามารถพบได้ในธรรมชาติเพียงปริมาณเล็กน้อย เช่น น้ำตาลดี-ไซโคส (D-Psicose) ที่มีโครงสร้างทางเคมีคล้ายกับน้ำตาลฟрукโตสแต่แตกต่างกันที่พิเศษทางการวางแผนตัวของหมู่ไฮดรอกซิล ( $\text{OH group}$ ) ซึ่งจับกับคาร์บอนตำแหน่งที่สามดังภาพ 2.16 โดยปัจจุบันการผลิตน้ำตาลชนิดนี้เพื่อให้

ได้ปริมาณมากนั้นอาศัยกระบวนการเปลี่ยนแปลงโครงสร้างทางเคมีของน้ำตาลดี-กลูโคส (D-Glucose) ไปเป็นน้ำตาลดี-ไอโคสโดยอาศัยเอนไซม์จากแบคทีเรีย (Microbial and Enzymatic Reaction) ซึ่งน้ำตาลหายากมีผลข้างเคียงของการรับประทานคือก่อให้เกิดอาการท้องเสีย โดยเป็นผลมาจากการเกิดแรงดันอสモติกในลำไส้ (Enteric osmotic Pressure) ดังนั้นปริมาณของน้ำตาลดี-ไอโคสสูงสุดที่ไม่ก่อให้เกิดอาการท้องเสียในคน คือ 0.5 - 0.6 กรัมต่อน้ำหนักตัวหนึ่งกิโลกรัม



(ก) โครงสร้างน้ำตาลฟรุกโตสไซร์ป



(ข) โครงสร้างน้ำตาลดีไอโคส

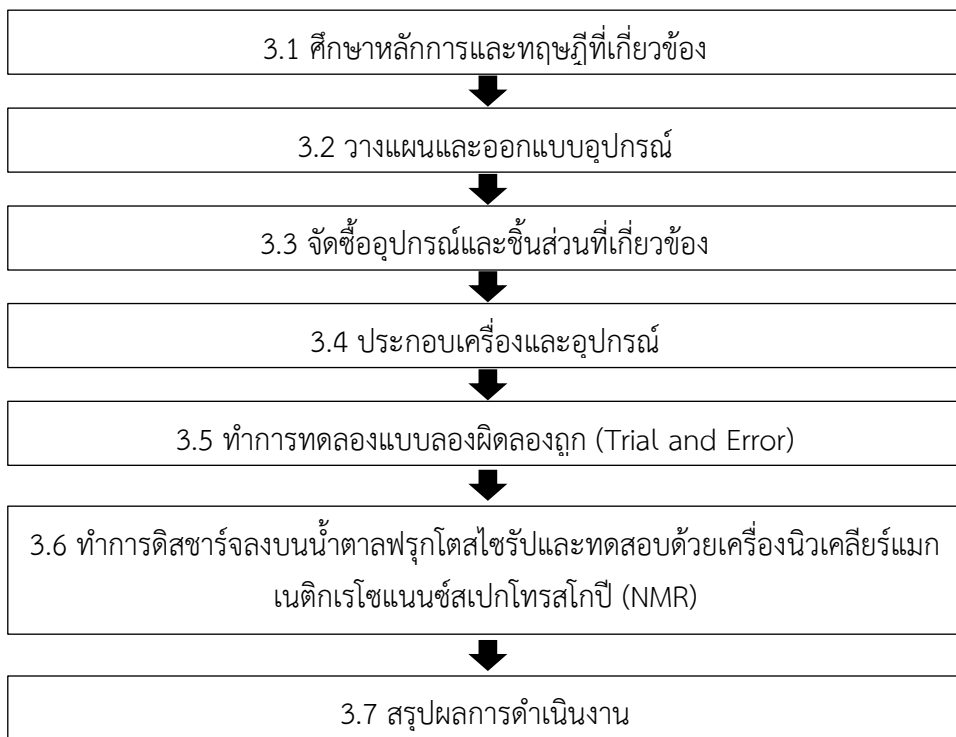
ภาพ 2.16 โครงสร้างน้ำตาลฟรุกโตสไซร์ปและน้ำตาลหายาก (Rare Sugar) (ก) (ข)

ที่มา : <https://pharm.tu.ac.th>

## บทที่ 3

### ระเบียบวิธีการทำวิจัย

ในการศึกษาการพัฒนาระบบพลาสmaเจ็ต ผู้วิจัยเลือกเห็นประโยชน์ที่คาดว่าจะได้จากเครื่องพลาสmaเจ็ตที่พัฒนาขึ้นที่ความดันบรรยากาศที่สามารถนำไปประยุกต์ในโครงงานอื่นที่จำเป็นต้องใช้ในคณะวิศวกรรมศาสตร์มหาวิทยาลัยเชียงใหม่ และได้เครื่องต้นแบบที่สามารถนำมาประยุกต์ใช้ในการลดระยะเวลาการผลิตน้ำตาลห่างไกลโดยมีขั้นตอนดังภาพ 3.1

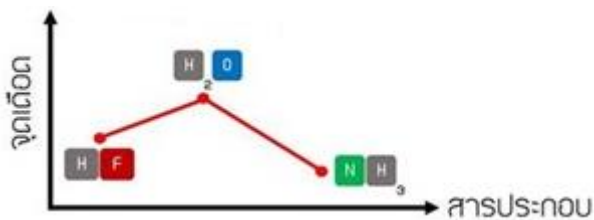


ภาพ 3.1 ขั้นตอนการดำเนินการวิจัย

### 3.1 ศึกษาหลักการและทฤษฎีที่เกี่ยวข้อง

#### 3.1.1 พันธะไฮโดรเจน (Hydrogen Bond)

พันธะไฮโดรเจน คือ แรงดึงดูดระหว่างโมเลกุลในสารประกอบประเภทไฮโดรเจนอะตอมที่สร้างพันธะไฮโดรเจนกับอะตอมที่มีค่าอิเล็กโตรเนกาติวิตี้สูงๆ และมีขนาดเล็กที่ทำให้เกิดเป็นแรงยึดเหนี่ยวที่มีแรงดึงดูดสูงมากและแข็งแรงกว่าแรงлонดอน ได้แก่ F O และ N ทำให้เกิดเกิดพันธะไฮโดรเจนที่มีขั้นตอนที่มีสภาพขั้วแข็งแรงมาก ทั้งนี้เนื่องจากพันธะที่เกิดขึ้นนี้อิเล็กตรอนคู่ร่วมพันธะจะถูกดึงเข้ามาใกล้อะตอมของธาตุที่มีค่าอิเล็กโตรเนกาติวิตี้สูงมากกว่าทางด้านอะตอมของไฮโดรเจนมาก และอะตอมของธาตุที่มีค่าอิเล็กโตรเนกาติวิตี้สูงยังมีอิเล็กตรอนคู่โดดเดี่ยว จึงเกิดการดึงดูดกันระหว่างอิเล็กตรอนคู่โดดเดี่ยวกับอะตอมของไฮโดรเจน ซึ่งมีอำนาจไฟฟ้าบวกสูงของอีกโมเลกุลหนึ่ง ทำให้เกิดเป็นพันธะไฮโดรเจน ซึ่งสารประกอบทั้ง 3 ชนิดที่กล่าวในข้างต้นจะให้จุดเดือดที่แตกต่างกันดังภาพ 3.2



ภาพ 3.2 เปรียบเทียบจุดเดือดสารประกอบทั้งสามชนิด

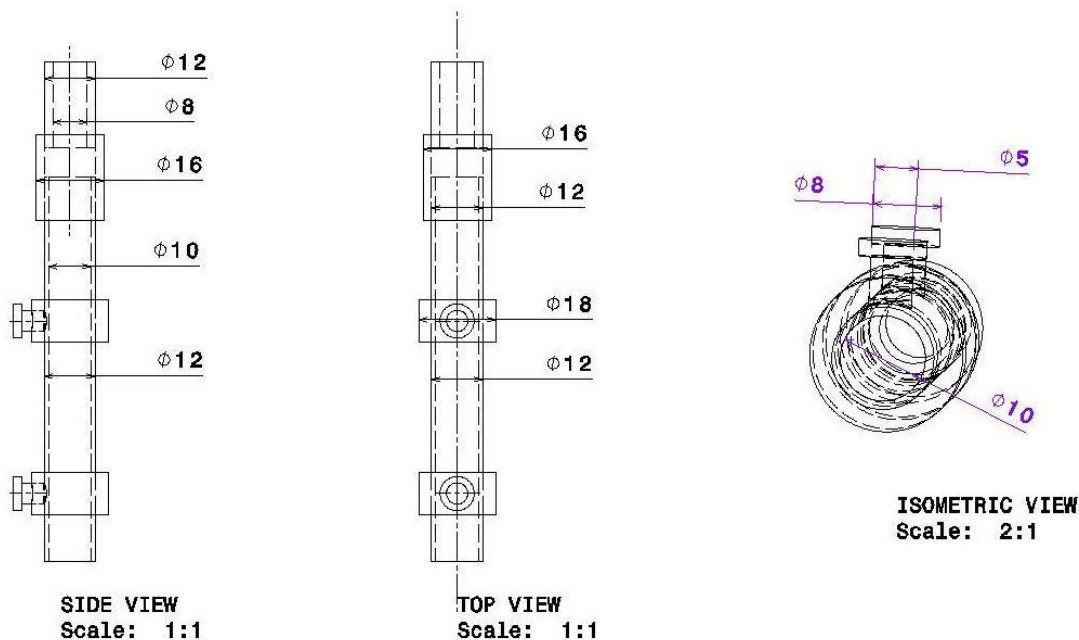
ที่มา : <https://www.trueplookpanya.com>

จากการ 3.2 สามารถอธิบายได้ว่า H<sub>2</sub>O มีจุดเดือดสูงกว่า HF เพราะ H<sub>2</sub>O มีจำนวนพันธะไฮโดรเจนมากกว่า HF ถึง 2 พันธะ เพราะมีแรงยึดเหนี่ยวโมเลกุลที่มีแรงดึงดูดสูงกว่าจึงจำเป็นต้องป้อนพลังงานสูงกว่าตามกัน ดังนั้นจึงสรุปได้ว่าสารประกอบอินทรีย์ที่มีผลต่างของค่าอิเล็กโตรเนกาติวิตี้สูงและจำนวนพันธะไฮโดรเจนมากเท่าไรจะส่งผลให้มีแรงดึงดูดมากตาม จึงจำเป็นต้องใช้พลังงานในการแตกตัวของพันธะมากขึ้นตามไปด้วย

## 3.2 วางแผนและออกแบบอุปกรณ์

### 3.2.1 วางแผนและออกแบบปะรบอิเล็กโทรด

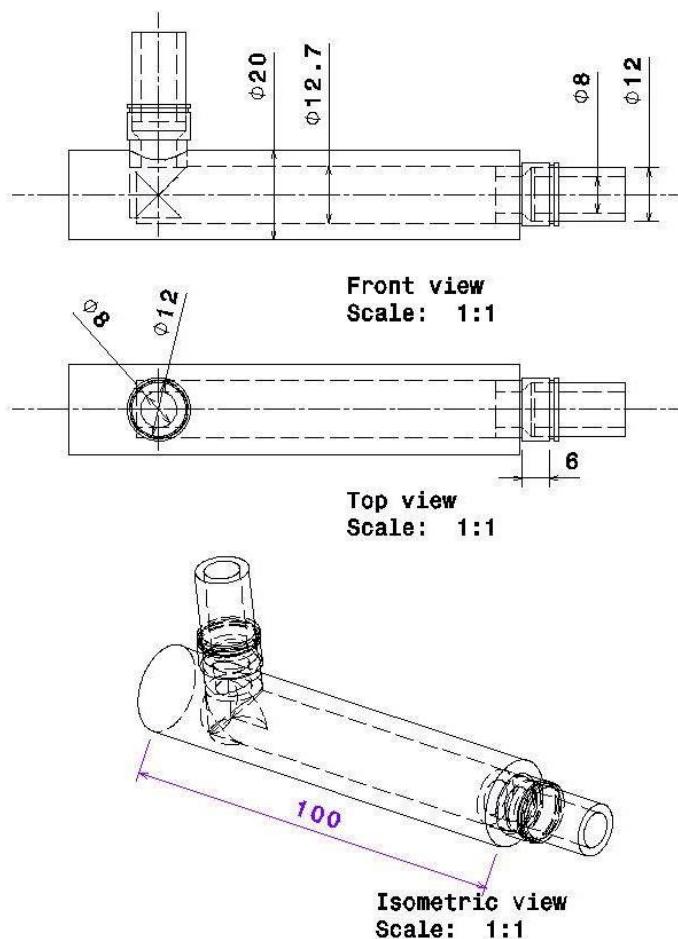
ทำการออกแบบปะรบอิเล็กโทรดที่ใช้ในการควบคุมและกำหนดทิศทางของพลาสม่าที่เกิดขึ้น โดยใช้โปรแกรม CATIA ใน การออกแบบ โดยมีโครงสร้างดังภาพ 3.3 ซึ่งปะรบอิเล็กโทรดจะทำการต่อเข้ากับท่อลมพิญ โดยวัสดุที่ใช้ในการทำปะรบอิเล็กโทรดจะต้องเป็นวัสดุที่เกิดออกซิเดชัน (Oxidation) ได้ยากเนื่องจากวัสดุในท้องตลาดส่วนใหญ่เป็นวัสดุที่ชุบด้วยทองเหลืองทำให้สามารถเกิดออกซิเดชันได้ง่ายซึ่งจะส่งผลต่อลพลาสม่าที่เกิดขึ้น ดังนั้นวัสดุที่ใช้ในการทำปะรบอิเล็กโทรดของโครงงานวิจัยนี้จะประกอบไปด้วย ข้อต่อลมสแตนเลส น็อตสแตนเลส และหลอดแก้วครอบซึ่งเนื่องจากการเกิดพลาasma จะทำให้มีความร้อนสะสมในหลอดแก้ว ซึ่งหลอดแก้วตามท้องตลาดที่หาซื้อห้ำไปจะเป็นหลอดแก้วซิลิกาทำให้ไม่สามารถทนต่อกำลังไฟที่ควร โดยความร้อนสะสมที่เกิดขึ้นจะส่งผลให้เกิดการแตกของหลอดแก้วได้บ่อยครั้งหากนำหลอดแก้วซิลิกามาใช้ในการทดลอง



ภาพ 3.3 แบบจำลองปะรบอิเล็กโทรดที่ทำการออกแบบ

### 3.2.2 วางแผนและออกแบบห้องปรับความดัน

ทำการออกแบบห้องปรับความดันผ่านโปรแกรม CATIA เพื่อใช้สำหรับลดระดับความดันให้เหมาะสมและป้องกันการเกิดการร้าวซึมของแก๊ส โดยห้องปรับความดันจะใช้เพื่อพักแก๊สก่อนส่งต่อไปยังปะรบอิเล็กโทรด ชิ้นวัสดุที่ใช้ในการสร้างห้องปรับความดันจะต้องเป็นวัสดุที่เกิดออกซิเดชัน (Oxidation) ได้ยากเหมือนกับปะรบอิเล็กโทรดโดยจะใช้วัสดุสแตนเลสในการสร้างห้องปรับความดันตามที่ได้ออกแบบดังภาพ 3.4



ภาพ 3.4 แบบจำลองห้องปรับความดัน

### 3.3 จัดซื้ออุปกรณ์และขึ้นส่วนที่เกี่ยวข้อง

3.3.1 ทำการจัดซื้ออุปกรณ์และขึ้นส่วนที่เกี่ยวกับแหล่งจ่ายไฟฟ้าแรงดันสูงความถี่สูงชนิดกระแสสลับ ดังตาราง 3.1

ตาราง 3.1 อุปกรณ์และขึ้นส่วนที่เกี่ยวข้องกับแหล่งจ่ายไฟฟ้าแรงดันสูงความถี่สูงชนิดกระแสสลับ

ภาพอุปกรณ์	ชื่ออุปกรณ์
	แหล่งจ่ายไฟฟ้าแรงดันต่ำปรับค่าได้
	หม้อแปลงไฟฟ้าแรงดันสูงความถี่สูงกระแสสลับ

ตาราง 3.1 อุปกรณ์และชิ้นส่วนที่เกี่ยวข้องกับแหล่งจ่ายไฟฟ้าแรงดันสูงความถี่สูงชนิดกระแสสลับ (ต่อ)

ภาพอุปกรณ์	ชื่ออุปกรณ์
	หน้าจอแอลซีดี
	ไมโครคอนโทรลเลอร์ (Arduino Mega 2560)
	Mosfet IRF630A
	วงจรกำเนิดความถี่

3.3.2 จัดซื้ออุปกรณ์และชิ้นส่วนที่เกี่ยวกับชุดควบคุมอัตราชาร์ไอล์ของก้าช ดังตาราง 3.2

ตาราง 3.2 อุปกรณ์และชิ้นส่วนที่เกี่ยวข้องกับชุดควบคุมอัตราชาร์ไอล์ของก้าช

ภาพอุปกรณ์	ชื่ออุปกรณ์
	สกรูสแตนเลส
	สายลมพีyu
	ท่อทองแดง

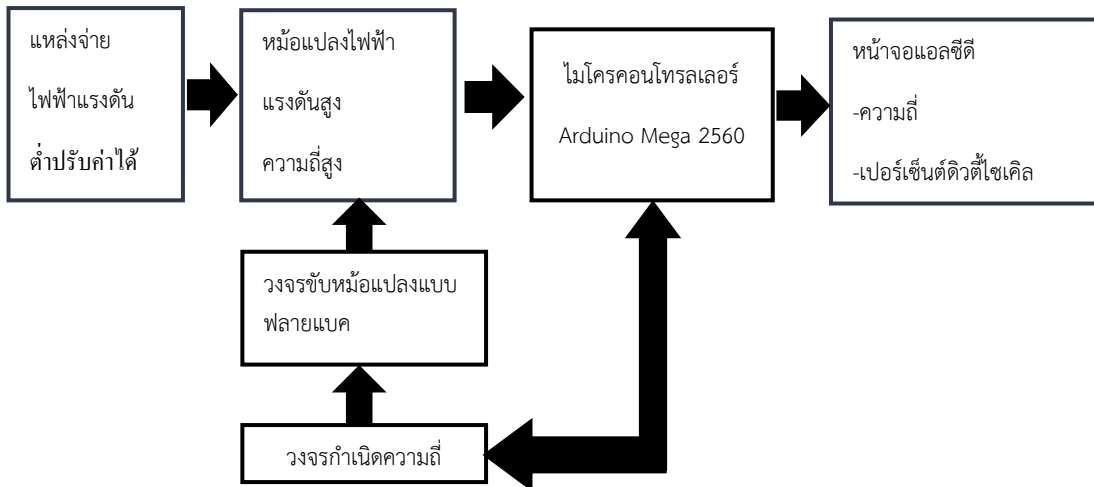
ตาราง 3.2 อุปกรณ์และชิ้นส่วนที่เกี่ยวข้องกับชุดควบคุมอัตราการไหลของก๊าซ (ต่อ)

ภาพอุปกรณ์	ชื่ออุปกรณ์
	ข้อต่อลมตรงแบบเกลี่ยวนอก
	หลอดโพลีไธลีเอต

### 3.4 ประกอบเครื่องและอุปกรณ์

#### 3.4.1 ประกอบแหล่งจ่ายไฟฟ้าแรงดันสูงความถี่สูงชนิดกระแสสลับ

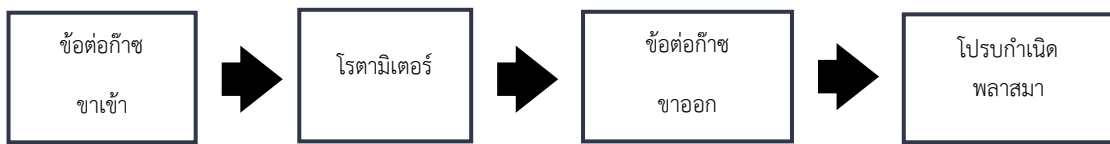
ทำการประกอบแหล่งจ่ายไฟฟ้าแรงดันสูงความถี่สูงชนิดกระแสสลับ โดยประกอบตามโครงสร้างที่ได้ออกแบบไว้ดังภาพ 3.5



ภาพ 3.5 แบบโครงสร้างที่ใช้ในการประกอบแหล่งจ่ายไฟฟ้าแรงดันสูงความถี่สูงชนิดกระแสสลับ

### 3.4.2 ประกอบชุดควบคุมอัตราการไหลของก๊าซ

ทำการประกอบประกอบชุดควบคุมอัตราการไหลของก๊าซ โดยประกอบตามโครงสร้างที่ได้ออกแบบไว้ดังภาพ 3.6



ภาพ 3.6 แบบโครงสร้างที่ใช้ในการประกอบชุดควบคุมอัตราการไหลของก๊าซ

### 3.5 ทำการทดลองแบบลองผิดลองถูก (Trial and Error)

เมื่อทำการประกอบเครื่องพลาสม่าเจ็ตสำเร็จทางกลุ่มผู้จัดทำได้ทำการทดลองแบบลองผิดลองถูก (Trial an Error) เพื่อหาระยะห่างระหว่างขั้วอิเล็กโทรดทั้ง 2 ขั้ว ที่probกำเนิดพลาสม่า โดยได้ทำการระยะห่างระหว่างขั้วอิเล็กโทรดทั้ง 2 ขั้ว ซึ่งระยะห่างนั้นมีผลต่อการเกิดพลาสม่าเจ็ตที่ปลายprobกำเนิดพลาสม่าได้ เพื่อที่จะนำพลาสม่าเจ็ตที่เกิดขึ้นนี้ไปทำการติดสารจำบันน้ำตาลฟรุกโตสไซรัป และทดสอบด้วยเครื่องนิวเคลียร์แมกнетิกเรโซแนนซ์สเปกโตรสโคป (NMR) ในลำดับถัดไป

### 3.6 ทำการดิสชาร์จลงบนน้ำตาลฟรุกโตสไซรัปและทดสอบด้วยเครื่องนิวเคลียร์แมกเนติกเรโซแนนซ์สเปกโตรสโคปี (NMR)

หลังจากที่ทำการทดลองแบบลองผิดลองถูก (Trial and Error) ในขั้นตอนก่อนหน้านี้จนได้พลาスマเจ็ตที่มีความเสถียรแล้วนั้น จึงได้นำมาใช้ในการทดลองดิสชาร์จลงบนน้ำตาลฟรุกโตสไซรัป และนำน้ำตาลฟรุกโตสไซรัปที่ทำการทดลองดิสชาร์จแล้วไปทดสอบด้วยเครื่องนิวเคลียร์แมกเนติกเรโซแนนซ์สเปกโตรสโคปี (NMR) เพื่อทำการแตกตัวของพันธะไฮโดรเจนในน้ำตาลฟรุกโตสไซรัปว่าเกิดการแตกในลักษณะไหนแบบใด

### 3.7 สรุปผลการดำเนินงาน

หลังจากที่ได้ทำการดิสชาร์จลงบนน้ำตาลฟรุกโตสไซรัปและทดสอบด้วยเครื่องนิวเคลียร์แมกเนติกเรโซแนนซ์สเปกโตรสโคปี (NMR) และนั้นจึงจะทำการสรุปผลการดำเนินการวิจัยครั้งนี้ โดยจะทำการวิเคราะห์ผลจากการทดสอบด้วยเครื่องนิวเคลียร์แมกเนติกเรโซแนนซ์สเปกโตรสโคปี (NMR) ว่าใน การทดลองดิสชาร์จลงบนน้ำตาลฟรุกโตสไซรัปของระบบพลาสม่าเจ็ตที่พัฒนาขึ้นจากการดำเนินการวิจัยครั้งนี้นั้นทำให้เกิดการแตกตัวของพันธะไฮโดรเจนในน้ำตาลฟรุกโตสไซรัปอย่างไร เพื่อทำการสรุปผลการดำเนินการวิจัยครั้งนี้ว่าสามารถนำระบบพลาสม่าเจ็ตที่พัฒนาขึ้นไปประยุกต์ใช้ในการลดระยะเวลาการผลิตน้ำตาลห่างไกลได้หรือไม่ และจัดทำเล่มรายงานโครงการวิจัยที่สมบูรณ์

## บทที่ 4

### ผลการดำเนินงาน

จากการที่ผู้วิจัยได้ดำเนินการศึกษาข้อมูลสำหรับการนำมาระบบพลาสmaเจ็ตเพื่อนำมาใช้ในการทดลองดิสชาร์จลงบนน้ำตาลฟรุกโตสไซรัป โดยเครื่องพลาสmaเจ็ตที่ได้นำมาใช้นั้นมาจากการทำการทดลองแบบลองผิดลองถูก (Trial an Error) เพื่อนำไปใช้ในการทดลองดิสชาร์จลงบนน้ำตาลฟรุกโตสไซรัปและนำไปวิเคราะห์โครงสร้างของน้ำตาลฟรุกโตสไซรัปด้วยการทดสอบของเครื่องนิวเคลียร์แมกเนติกเรโซแนนซ์สเปกโตรสโคปี (NMR) ในท้ายที่สุด ซึ่งในบทนี้จะแสดงผลการดำเนินงานและปัญหาที่พบระหว่างการดำเนินงานรวมไปถึงวิธีการแก้ไขปัญหาต่าง ๆ ระหว่างการทดลองพัฒนาระบบพลาสmaเจ็ต

#### 4.1 การทดลองครั้งที่ 1

ทางผู้วิจัยได้ทำการประกอบวงจรแหล่งจ่ายไฟฟ้าแรงดันสูงความถี่สูงชนิดกระแสสลับตามที่ได้ออกแบบไว้ในบทที่ 3 และได้ทำการวัดค่าไฟฟ้าแรงดันสูง โดยใช้ปอรวัดค่าไฟฟ้าแรงดันสูงที่อัตราส่วน  $1 : 1,000$  กับ มัลติมิเตอร์ (Multimeter) ดังภาพ 4.1 และ 4.2 ตามลำดับ เพื่อใช้ในการอ่านค่าไฟฟ้าแรงดันสูงที่เกิดขึ้นจากการ ซึ่งค่าแรงดันไฟฟ้าที่เกิดขึ้นนั้นมีการเปลี่ยนแปลง โดยขึ้นอยู่กับจำนวนรอบที่ใช้ในการพันแกนปฐมภูมิของตัวฟลายแบคคอนเวอร์เตอร์ (Flyback Converter) ซึ่งได้ทำการวัดค่าไฟฟ้าแรงดันสูงมา 3 ค่าดังตาราง 4.1



ภาพ 4.1 probeวัดค่าไฟฟ้าแรงดันสูงที่อัตราส่วน 1 : 1,000



ภาพ 4.2 มัลติมิเตอร์

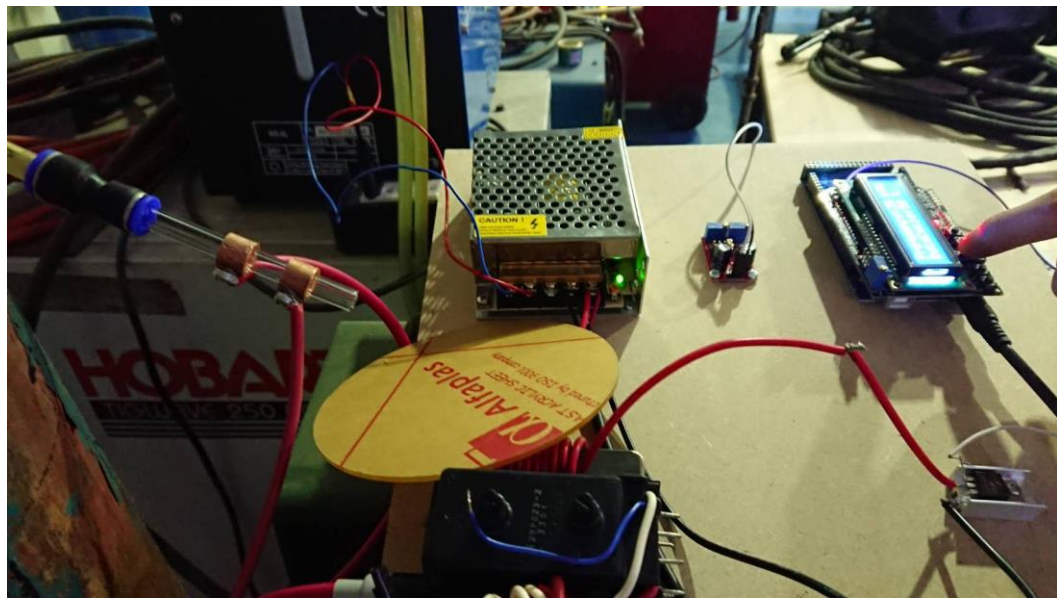
ตาราง 4.1 ค่าไฟฟ้าแรงดันสูงที่ได้จากการพันแกนปฐมภูมิของตัวฟลายแบคคอนเวอร์เตอร์

จำนวนรอบที่พันแกนปฐมภูมิ (รอบ)	$V_{in}$ (V)	$V_{out}$ (V)
4	12	800
8	12	1,200
10	12	1,600

จากการวัดค่าไฟฟ้าแรงดันสูงที่ได้จากการพันแกนปฐมภูมิของตัวฟลายแบคคอนเวอร์เตอร์ทำให้ทราบว่าจำนวนรอบที่พันแกนปฐมภูมิแปรผันตรงกับค่าแรงดันไฟฟ้าแหล่งออก ( $V_{out}$ ) ดังนี้จำนวนรอบที่พันแกนปฐมภูมิที่เหมาะสมมากับการที่จะนำมาใช้ในการทดลองนั้น คือ จำนวนรอบที่พันแกนปฐมภูมิ 10 รอบ เพราะให้ค่าแรงดันไฟฟ้าสูงที่สุด คือ 1,600 โวลต์ และเป็นจำนวนรอบที่สามารถพันได้สูงสุดตามขนาดของแกนปฐมภูมิของตัวฟลายแบคคอนเวอร์เตอร์ จากนั้นจึงได้นำไปทำการทดลองต่อ วงจรแหล่งจ่ายไฟฟ้าแรงดันสูงความถี่สูงชนิดกระแสสลับและชุดควบคุมอัตตราการไฟของก้าชตามที่ได้กล่าวไปในบทที่ 3 โดยใช้ข้ออ้างอิงที่ทำจากทองแดงแบบเพลาตันที่มีความยาว 1 เซนติเมตร ขนาดเส้นผ่านศูนย์กลาง 1.3 เซนติเมตร มาทำการเจาะรูขนาด 8.2 มิลลิเมตร ให้เป็นลักษณะคล้ายห่วง จำนวน 2 อัน แล้วจึงนำไปประกอบเข้ากับหลอดโบโรซิลิกेट (Borosilicate Glass Tube) ขนาดเส้นผ่านศูนย์กลาง 8 มิลลิเมตร โดยทำการเจาะรูขนาดเส้นผ่านศูนย์กลาง 3 มิลลิเมตร ที่ด้านข้างแล้วจึงทำเกลียวเพื่อที่จะใช้สกรูที่เป็นสแตนเลสเป็นตัวยึดกับหลอดโบโรซิลิกेट (Borosilicate Glass Tube) ดังภาพ 4.3 เป็นข้ออ้างอิงที่ใช้ในการทดลองครั้งที่ 1 นี้ได้ทำการใส่ข้ออ้างอิงที่หัวข้อการติดตั้งและทดสอบตัวฟลายแบคคอนเวอร์เตอร์ ซึ่งข้ออ้างอิงที่หัวข้อการติดตั้งและทดสอบตัวฟลายแบคคอนเวอร์เตอร์ ดังภาพ 4.4



ภาพ 4.3 ลักษณะของ Deng ที่ใช้เป็นข้ออ้างเล็กโกรด



ภาพ 4.4 การต่อวงจรที่ใช้ในการทดลองครั้งที่ 1

ทำการทดลองครั้งที่ 1 โดยอัตราการไฟлоของก้าวอาร์กอนที่ใช้หั้งหมุดมี 3 ระดับ เพื่อทดสอบการเกิดในแต่ละระดับของอัตราการไฟโลของก้าวอาร์กอน ซึ่งได้ผลการทดลองดังตาราง 4.2

ตาราง 4.2 ผลการทดลองในแต่ละระดับอัตราการไฟลของก้าซาร์กอนของการทดลองครั้งที่ 1

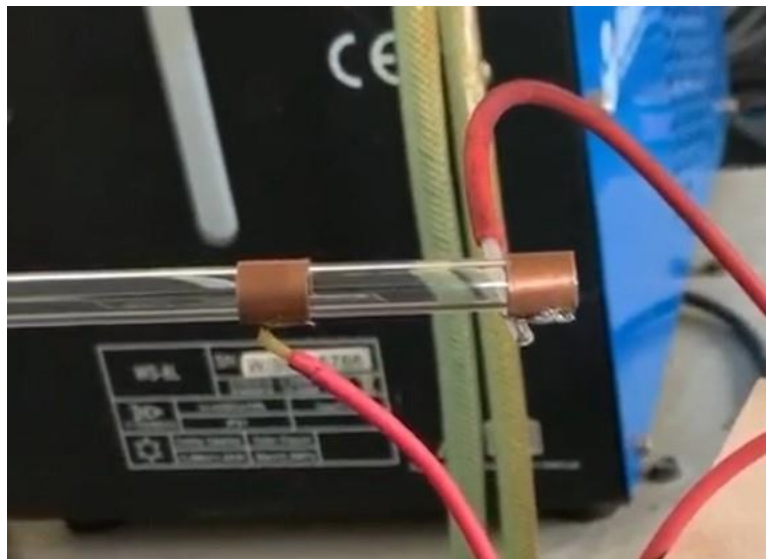
อัตราการไฟลของก้าซาร์กอน (ลิตรต่อนาที)	ผลการทดลอง
5	ไม่เกิดการอาร์ค
10	ไม่เกิดการอาร์ค
15	ไม่เกิดการอาร์ค

#### 4.1.1 ปัญหาที่พบจากการทดลองครั้งที่ 1

จากผลการทดลองครั้งที่ 1 พบร่วมกับไม่เกิดการอาร์ค (Electric Arc) ของข้ออิเล็กโทรดทั้ง 2 ข้อ ซึ่งอาจมีสาเหตุมาจากการลักษณะของทองแดงที่ทำขึ้นเพื่อนำมาสวมหลอดโบโรซิลิเกต (Borosilicate Glass Tube) นั้นยังไม่แนบกับหลอดโบโรซิลิเกตจึงทำให้เกิดสนามไฟฟ้าภายในหลอดโบโรซิลิเกต (Borosilicate Glass Tube) ได้ยาก

#### 4.2 การทดลองครั้งที่ 2

จากที่ได้ทำการทดลองครั้งที่ 1 นั้นทำให้พบว่าลักษณะของทองแดงที่นำมาเป็นข้ออิเล็กโทรด ของทั้ง 2 ข้อ นั้นยังไม่แนบกับหลอดโบโรซิลิเกต (Borosilicate Glass Tube) เท่าที่ควรทำให้เกิดสนามไฟฟ้าภายในหลอดโบโรซิลิเกต (Borosilicate Glass Tube) ได้ยาก ผู้วิจัยจึงได้ทำการเปลี่ยนทองแดงที่ข้ออิเล็กโทรดทั้ง 2 ข้อ โดยการนำแผ่นทองแดงความหนา 0.5 มิลลิเมตร มาทำการตัด โดยทำการตัดแผ่นทองแดงให้เป็นทรงกระบอกที่มีขนาดเส้นผ่านศูนย์กลางด้านใน 8 มิลลิเมตร และมีขนาดความสูง 1.5 เซนติเมตร เพื่อที่จะนำมาทำเป็นแหวนสวมกับหลอดโบโรซิลิเกต (Borosilicate Glass Tube) และใช้เป็นข้ออิเล็กโทรด ดังภาพ 4.5



ภาพ 4.5 ลักษณะข้ออิเล็กโทรดจากแผ่นทองแดงที่นำมาตัด

ทำการทดลองครั้งที่ 2 โดยได้ทำการใส่ข้ออิเล็กโทรดข้าบวกเข้าไปที่หลอดโบโรซิลิกेट (Borosilicate Glass Tube) ก่อนแล้วจึงใส่ข้ออิเล็กโทรดข้ากราวด์ ซึ่งข้ออิเล็กโทรดข้ากราวด์จะอยู่ที่ฝั่งปลายหลอดโบโรซิลิกेट (Borosilicate Glass Tube) และอัตราการไหลของก๊าซอาร์กอนที่ใช้ทั้งหมดมี 3 ระดับ เพื่อทดสอบการเกิดในแต่ละระดับของอัตราการไหลของก๊าซอาร์กอน ซึ่งได้ผลการทดลองดังตาราง 4.3

ตาราง 4.3 ผลการทดลองในแต่ละระดับอัตราการไหลของก๊าซอาร์กอนของการทดลองครั้งที่ 2

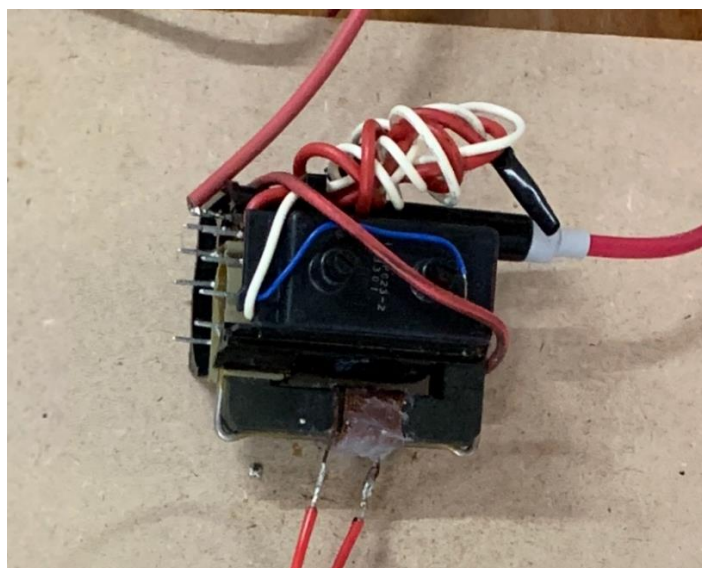
อัตราการไหลของก๊าซอาร์กอน (ลิตรต่อนาที)	ผลการทดลอง
5	ไม่เกิดการอาร์ค
10	ไม่เกิดการอาร์ค
15	ไม่เกิดการอาร์ค

#### 4.2.1 ปัญหาที่พบจากการทดลองครั้งที่ 2

จากการทดลองครั้งที่ 2 พบร่วมกันไม่เกิดการอาร์ค (Electric Arc) ของข้ออิเล็กโทรดทั้ง 2 ข้อ ซึ่งอาจเกิดจากสาเหตุที่มาจากการค่าแรงดันไฟฟ้า ( $V_{out}$ ) ที่ออกมากจากวงจรนั้นยังมีค่าไม่เพียงพอที่จะทำให้เกิดสนามไฟฟ้าภายในหลอดโบโรซิลิกेट (Borosilicate Glass Tube) และการเกิดการอาร์ค (Electric Arc) ของข้ออิเล็กโทรดทั้ง 2 ข้อ

#### 4.3 การทดลองครั้งที่ 3

จากการทดลองครั้งที่ 2 พบว่ายังไม่เกิดการอาร์ค (Electric Arc) ของข้ออิเล็กโทรดทั้ง 2 ข้อ เนื่องมาจากการปั๊มห้าค่าแรงดันไฟฟ้าที่ไม่เพียงพอจึงทำให้ผู้วิจัยได้ทำการศึกษาหาข้อมูลเกี่ยวกับวิธีการ เพิ่มค่าแรงดันไฟฟ้าในวงจรเพิ่มและพบว่ามีฟลายแบคคอนเวอร์เตอร์ (Flyback Converter) ยี่ห้อ MITSUBISHI รุ่น 334B07403 ซึ่งสามารถผลิตแรงดันไฟฟ้าเอาต์พุตได้มากกว่า 8 กิโลโวลต์ โดย อ้างอิงจากงานวิจัยการออกแบบแหล่งจ่ายแรงดันไฟฟ้าต้นแบบของคณะวิศวกรรมศาสตร์ ภาควิชา วิศวกรรมไฟฟ้า มหาวิทยาลัยเชียงใหม่ จึงทำให้ผู้วิจัยได้ทำการหาและจัดซื้อฟลายแบคคอนเวอร์เตอร์ (Flyback Converter) ยี่ห้อและรุ่นต่างกันจำนวนมากเพื่อใช้ในการทดลองครั้งที่ 3 โดยได้นำฟลายแบคคอนเวอร์เตอร์ (Flyback Converter) ยี่ห้อ MITSUBISHI รุ่น 334B07403 ที่ได้ทำการจัดซื้อมาจำนวนมาทำการพัฒนาดัดแปลง โดยทดลองที่ใช้ในการพัฒนาเป็นส่วนลดทองแดงอาบน้ำยาวขนาด 0.2 มิลลิเมตร ใช้ทั้งหมด 9 เส้น ในการทำดัดแปลง ซึ่งจำนวนรอบที่ใช้ในการพัฒนาเป็น 16 รอบ และยอดด้วยการซิลิโคนบริเวณที่พัฒนาดัดแปลงรอบแกนปฐมภูมิ ดังภาพ 4.6



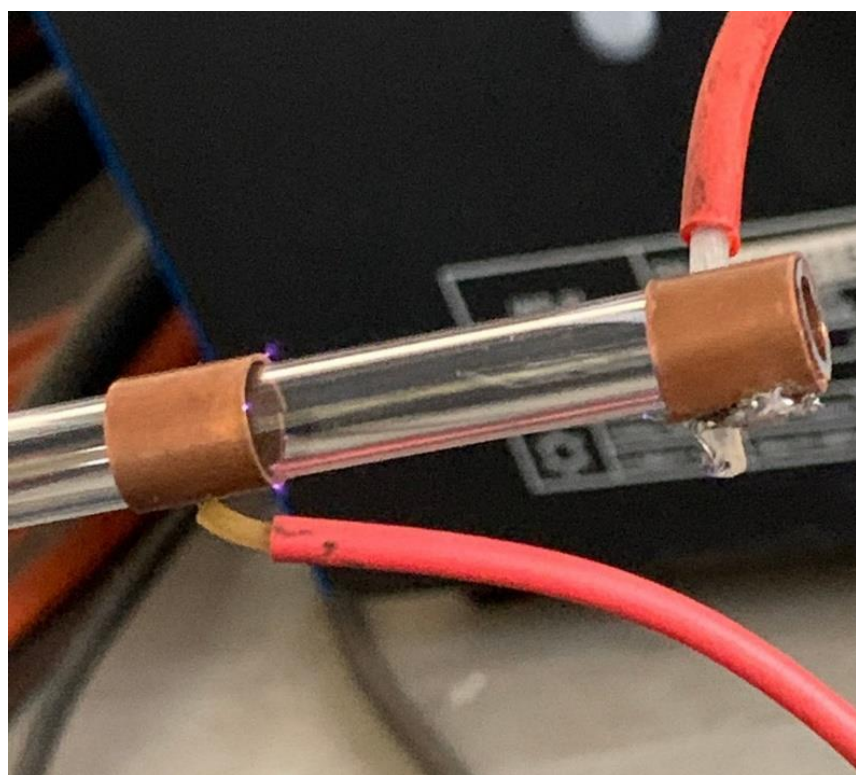
ภาพ 4.6 ลักษณะการพัฒนาดัดแปลงรอบแกนปฐมภูมิและลักษณะการหยุดการทำงานซิลิโคน

เมื่อการซิลิโคนแห้ง จึงได้ทำการวัดค่าแรงดันทางไฟฟ้า โดยใช้probeวัดค่าไฟฟ้าแรงดันสูงที่ อัตราส่วน 1 : 1,000 กับ มัลติมิเตอร์ (Multimeter) พบว่ามีค่าแรงดันทางไฟฟ้าของวงจรอยู่ที่ 2.7 กิโลโวลต์ ซึ่งไม่ตรงตามเกณฑ์วิจัยของคณะวิศวกรรมศาสตร์ ภาควิชา วิศวกรรมไฟฟ้า มหาวิทยาลัยเชียงใหม่ จึงได้ทำการทดลองครั้งที่ 3 โดยได้ทำการใส่ข้ออิเล็กโทรดข้าบ梧เข้าไปที่

หลอดโบโรซิลิกेट (Borosilicate Glass Tube) ก่อนแล้วจึงใส่ข้าวอิเล็กโทรดข้าวราวด์ ซึ่งข้าวอิเล็กโทรดข้าวราวด์จะอยู่ที่ฝั่งปลายหลอดโบโรซิลิกेट (Borosilicate Glass Tube) และอัตราการไหลของก๊าซอาร์กอนที่ใช้หั้งหมุดมี 3 ระดับ เพื่อทดสอบการเกิดในแต่ละระดับของอัตราการไหลของก๊าซอาร์กอน ซึ่งได้ผลการทดลองดังตาราง 4.4 โดยจากการทดลองครั้งที่ 3 พบว่าเริ่มเกิดการอาร์ค (Electric Arc) ระหว่างข้าวอิเล็กโทรดแต่เป็นการอาร์ค (Electric Arc) นอกหลอดโบโรซิลิกेट (Borosilicate Glass Tube) ซึ่งเป็นการอาร์ค (Electric Arc) ในปริมาณที่ต่ำ ดังภาพ 4.7

ตาราง 4.4 ผลการทดลองในแต่ละระดับอัตราการไหลของก๊าซอาร์กอนของการทดลองครั้งที่ 3

อัตราการไหลของก๊าซอาร์กอน (ลิตรต่อนาที)	ผลการทดลอง
5	เริ่มเกิดการอาร์ค
10	เริ่มเกิดการอาร์ค
15	เริ่มเกิดการอาร์ค



ภาพ 4.7 ผลการทดลองครั้งที่ 3

#### 4.3.1 ปัญหาที่พบจากการทดลองครั้งที่ 3

จากการทดลองครั้งที่ 3 พบว่าเริ่มเกิดการอาร์ค (Electric Arc) ระหว่างข้ออิเล็กโทรดแต่เป็นการอาร์ค (Electric Arc) นอกหลอดโบโรซิลิกาต (Borosilicate Glass Tube) และเป็นการอาร์ค (Electric Arc) ในปริมาณที่ต่ำ เพราะค่าแรงดันไฟฟ้า ( $V_{out}$ ) ที่ว่างสามารถสร้างได้นั้นน้อยเกินไปจึงทำให้เกิดสนามไฟฟ้าภายในหลอดโบโรซิลิกาต (Borosilicate Glass Tube) เนื่องจากค่าความคงทนไดอิเล็กทริก (Dielectric Strength) ของหลอดโบโรซิลิกาต (Borosilicate Glass Tube) นั้นมีค่าสูงกว่าแรงดันไฟฟ้า ( $V_{out}$ ) ที่ว่างสามารถสร้างได้ จึงจำเป็นต้องใช้ค่าแรงดันทางไฟฟ้าที่สูงขึ้น เพื่อให้เกิดการอาร์ค (Electric Arc) ในปริมาณที่สูงขึ้นรวมถึงเกิดการอาร์ค (Electric Arc) ภายในหลอดโบโรซิลิกาต (Borosilicate Glass Tube) และนอกจากนี้ทางผู้วิจัยพบว่าไมโครคอนโทรลเลอร์ (Arduino Mega 2560) ที่ใช้ควบคุมความถี่และเบอร์เซ็นต์ดิวตี้ไซเคิลนั้นไม่สามารถสั่งการควบคุมวงจรได้อย่างมีประสิทธิภาพ ซึ่งทำให้ค่าแรงดันไฟฟ้าสูงสุดที่สามารถทำได้นั้นอยู่ในปริมาณที่ต่ำกว่าที่ควรจะเป็น

#### 4.4 การทดลองครั้งที่ 4

จากการทดลองครั้งที่ 3 ที่พบว่าเริ่มเกิดการอาร์ค (Electric Arc) ระหว่างข้ออิเล็กโทรดแต่เป็นการอาร์ค (Electric Arc) ในปริมาณที่ต่ำ ซึ่งลักษณะที่เริ่มเกิดการอาร์ค (Electric Arc) นั้นพบว่าเกิดภายในหลอดโบโรซิลิกาต (Borosilicate Glass Tube) เนื่องมาจากปัจจัยของค่าความคงทนไดอิเล็กทริก (Dielectric Strength) ของหลอดโบโรซิลิกาต (Borosilicate Glass Tube) และปัจจัยของวงจรที่ใช้ในส่วนของไมโครคอนโทรลเลอร์ (Arduino Mega 2560) ที่ใช้ควบคุมความถี่และเบอร์เซ็นต์ดิวตี้ไซเคิลนั้นไม่สามารถสั่งการควบคุมวงจรได้อย่างมีประสิทธิภาพ ทางผู้วิจัยจึงได้ทำการแก้ไขปัญหาโดยการเปลี่ยนอุปกรณ์ที่ทำหน้าที่เป็นตัวปรับความถี่และเบอร์เซ็นต์ดิวตี้ไซเคิล ซึ่งจากเดิมที่ใช้ไมโครคอนโทรลเลอร์ (Arduino Mega 2560) ทำการเปลี่ยนเป็นวงจรกำเนิดสัญญาณแบบรวมเข้ากับ NE 555 ดังภาพ 4.8



ภาพ 4.8 วงจรกำเนิดสัญญาณแบบรวมเข้ากับ NE 555

จากนั้นได้ทำการปรับค่าความถี่และค่าเปอร์เซ็นต์ดิวตี้ไซเคิลของวงจรกำเนิดสัญญาณแบบรวมเข้ากับ NE 555 ซึ่งได้ทำการวัดค่าไฟฟ้าแรงดันสูง โดยใช้probeวัดค่าไฟฟ้าแรงดันสูงที่อัตราส่วน 1 : 1,000 กับ มัลติมิเตอร์ (Multimeter) ซึ่งผลจากการปรับค่าความถี่และค่าเปอร์เซ็นต์ดิวตี้ไซเคิลนั้นทำให้ได้ค่าแรงดันไฟฟ้าสูงที่สุดอยู่ที่ 28 กิโลโวลต์ จึงทำให้ต้องเปลี่ยนแปลงแบบโครงสร้างที่ใช้ในการประกอบชุดควบคุมอัตราการไฟหลังจาก โดยทำการเปลี่ยนในส่วนของปอร์กามิเดนติพลาสมากับเดิมที่ใช้คือ หลอดโบโรซิลิกेट (Borosilicate Glass Tube) ทำการเปลี่ยนเป็นหลอดแก้วควอตซ์ (Quartz Glass Tube) โดยใช้หลอดแก้วควอตซ์ (Quartz Glass Tube) ขนาดเดียวกันกับหลอดโบโรซิลิกेट (Borosilicate Glass Tube) ซึ่งสามารถเลือกใช้หลอดแก้วควอตซ์ (Quartz Glass Tube) เพราะเนื่องจากค่าแรงดันไฟฟ้าที่สูงมากจะทำให้ปอร์กามิเดนติพลาสมารับความร้อนจากการอาร์ค (Electric Arc) ของข้ออิเล็กโทรด 2 ข้อ โดยเป็นความร้อนสะสมในปริมาณที่สูงมากจึงจำเป็นต้องใช้ปอร์กามิเดนติพลาสมาที่สามารถทนความร้อนได้สูงมากกว่าเดิม ซึ่งหลอดโบโรซิลิกेट (Borosilicate Glass Tube) ไม่สามารถทนความได้ดีเท่ากับหลอดแก้วควอตซ์ (Quartz Glass Tube) และเพื่อเป็นการลดค่าความคงทนไดอิเล็กทริก (Dielectric Strength) ในส่วนของปอร์กามิเดนติพลาสมาก็จะเลือกใช้หลอดแก้วควอตซ์ (Quartz Glass Tube) เพราะมีค่าความคงทนไดอิเล็กทริก (Dielectric Strength) ต่ำกว่าหลอดโบโรซิลิกेट (Borosilicate Glass Tube) มาก ซึ่งลักษณะของหลอดแก้วควอตซ์ (Quartz Glass Tube) นั้นมีลักษณะดังภาพ 4.9

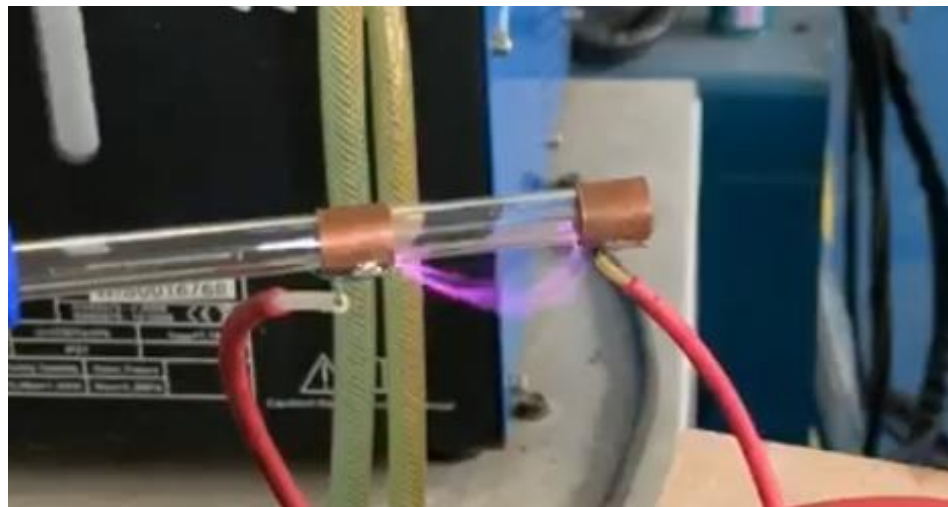


ภาพ 4.9 หลอดแก้วควอตซ์

โดยได้ทำการใส่ข้าวอิเล็กโทรดข้าบวกเข้าไปก่อนแล้วจึงได้ใส่ข้าวอิเล็กโทรดข้ากราวด์เข้าไปที่หลังซึ่งข้าวอิเล็กโทรดข้ากราวด์จะอยู่ที่ฝั่งปลายหลอดแก้วควอตซ์ (Quartz Glass Tube) โดยอัตราการไหลของก๊าซอาร์กอนที่ใช้ทั้งหมดมี 3 ระดับ เพื่อทดสอบการเกิดในแต่ละระดับของอัตราการไหลของก๊าซอาร์กอน ซึ่งได้ผลการทดลองดังตาราง 4.5 และทำให้ได้ผลการทดลองดังภาพ 4.10

ตาราง 4.5 ผลการทดลองในแต่ละระดับอัตราการไหลของก๊าซอาร์กอนของการทดลองครั้งที่ 4

อัตราการไหลของก๊าซอาร์กอน (ลิตรต่อนาที)	ผลการทดลอง
5	เกิดการอาร์ค
10	เกิดการอาร์ค
15	เกิดการอาร์ค



ภาพ 4.10 ผลการทดลองครั้งที่ 4

จากภาพ 4.10 จะเห็นได้ว่าเกิดการอาร์ค (Electric Arc) ระหว่างขั้วอิเล็กโทรดในปริมาณที่สูงกว่าการทดลองครั้งที่ 3 แต่ยังเป็นการเกิดการอาร์ค (Electric Arc) ภายนอกไปรบกวนเนิดพลาสม่า

#### 4.4.1 ปัญหาที่พบจากการทดลองครั้งที่ 4

จากผลการทดลองครั้งที่ 4 พบว่าเกิดการอาร์ค (Electric Arc) ระหว่างขั้วอิเล็กโทรดแต่เป็นการอาร์ค (Electric Arc) ภายนอกหลอดแก้วควอตซ์ (Quartz Glass Tube) เนื่องจากอิเล็กตรอนวิงในตัวกลางที่เป็นอากาศไปหาขั้วอิเล็กโทรดขั้วราวด์ได้ง่ายกว่าการวิงภายนอกหลอดแก้วควอตซ์ (Quartz Glass Tube) ที่มีตัวกลางเป็นก้าชาร์กอน และนอกจากนี้ชิ้นซึ่งค์ระบายน้ำความร้อนของ Mosfet IRF630A ที่ใช้อยู่นั้นมีขนาดเล็กเกินไปทำให้ระบบทำความร้อนได้ไม่ดี ซึ่งอาจเป็นสาเหตุที่ทำให้ Mosfet IRF630A หลังจากการทดลองครั้งที่ 4 นี้เสีย โดยทางผู้วิจัยจึงได้ทำการจัดหา Mosfet IRF630A และเปลี่ยนชิ้นซึ่งค์ระบายน้ำความร้อนของ Mosfet IRF630A ให้มีขนาดใหญ่ขึ้นดังภาพ 4.11



ภาพ 4.11 ชิ้นซึ่งค์ระบายน้ำความร้อนของ Mosfet IRF630A ที่ได้ทำการเปลี่ยน

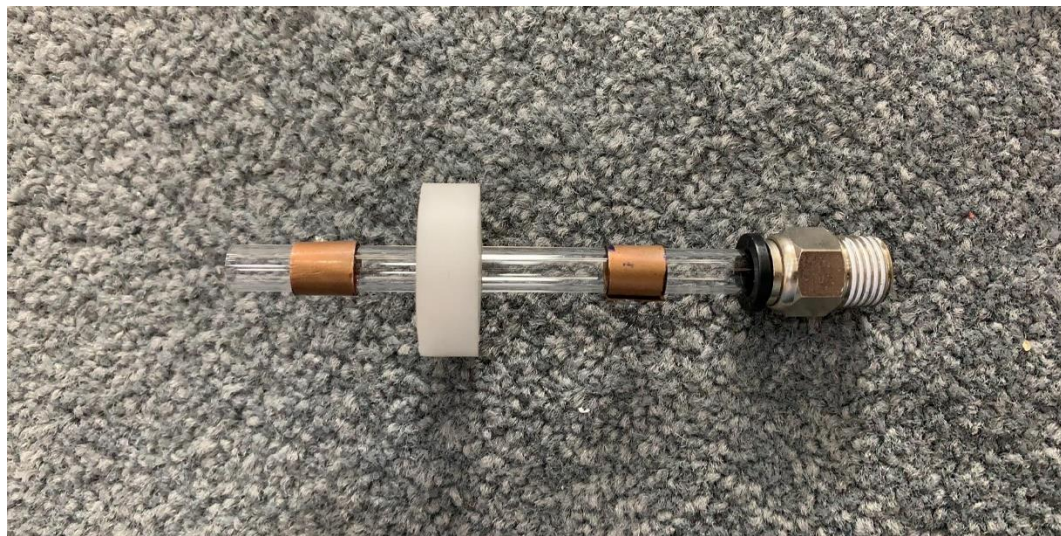
#### 4.5 การทดลองครั้งที่ 5

จากการทดลองครั้งที่ 4 พบว่าเกิดการอาร์ค (Electric Arc) ระหว่างข้ออิเล็กโทรดแต่เป็นการอาร์ค (Electric Arc) ภายในอกหlodแก้วควอตซ์ (Quartz Glass Tube) ทางผู้วิจัยจึงได้ทำการออกแบบชนวนที่มีน้ำหนักเบาและมีค่าความคงทนไดอิเล็กทริก (Dielectric Strength) สูงและสามารถความร้อนได้จึงทำให้เลือกใช้ชนวนเป็นชุปเปอร์ลีน (Superlene) โดยได้ทำการออกแบบเป็นวงกลมที่มีขนาดเส้นผ่านศูนย์กลาง 3 เซนติเมตร โดยเจาะรูตรงกลางให้มีขนาด 8 มิลลิเมตร และมีความหนา 1 เซนติเมตร ซึ่งมีลักษณะดังภาพ 4.12



ภาพ 4.12 ชนวนที่ทำจากชุปเปอร์ลีน

หลังจากนั้นนำชนวนที่ทำจากชุปเปอร์ลีน (Superlene) ที่ได้ทำการออกแบบมาแล้วนำมาสวมใส่กับหlodแก้วควอตซ์ (Quartz Glass Tube) โดยให้ชนวนที่ทำจากชุปเปอร์ลีน (Superlene) นั้นอยู่ที่กึ่งกลางระหว่างข้ออิเล็กโทรด 2 ข้อ เพื่อเพิ่มระยะให้สามารถเกิดการอาร์ค (Electric Arc) ในอากาศได้ยากขึ้นดังภาพ 4.13 โดยทำการเว้นระยะห่างของข้ออิเล็กโทรดข้าบวกให้ห่างจากชนวนที่ทำจากชุปเปอร์ลีน (Superlene) เพื่อไม่ให้เกิดการอาร์ค (Electric Arc) ระหว่างข้ออิเล็กโทรดทั้ง 2 ข้อ ในลักษณะการอาร์ค (Electric Arc) แบบข้ามชนวนที่ทำจากชุปเปอร์ลีน (Superlene) และวิจัยทำการทดลอง โดยทำการใส่ข้ออิเล็กโทรดข้าบวกเข้าไปที่หlodแก้วควอตซ์ (Quartz Glass Tube) ก่อนแล้ว จึงใส่ข้ออิเล็กโทรดข้ากราวด์ ซึ่งข้ออิเล็กโทรดข้ากราวด์จะอยู่ที่ฝั่งปลายหlodแก้วควอตซ์ (Quartz Glass Tube) โดยอัตราการไหลของก๊าซอาร์กอนที่ใช้ทั้งหมดมี 3 ระดับ เพื่อทดสอบการเกิดในแต่ละระดับของอัตราการไหลของก๊าซอาร์กอน ซึ่งได้ผลการทดลองดังตาราง 4.6

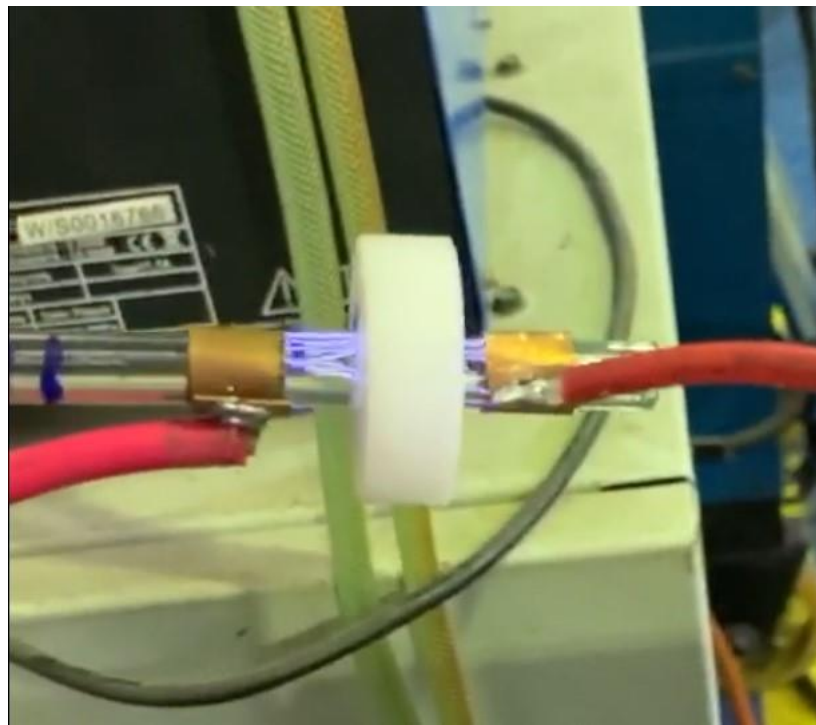


ภาพ 4.13 probe สำหรับการทดลองครั้งที่ 5

ตาราง 4.6 ผลการทดลองในแต่ละระดับอัตราการไหลของก๊าซอาร์กอนของการทดลองครั้งที่ 5

อัตราการไหลของก๊าซอาร์กอน (ลิตรต่อนาที)	ผลการทดลอง
5	เกิดการอาร์ค
10	เกิดการอาร์ค
15	เกิดการอาร์ค

จากการทดลองครั้งที่ 5 พบร่วมกับการเกิดการอาร์ค (Electric Arc) ภายในอากาศระหว่างหัวอิเล็กโทรดทั้ง 2 ข้าง โดยเกิดการอาร์ค (Electric Arc) ในลักษณะแบบรอดผ่านฉนวนที่ทำจากซุปเปอร์ลีน (Superlene) ดังภาพ 4.14



ภาพ 4.14 ผลการทดลองครั้งที่ 5

#### 4.5.1 ปัญหาที่พบจากการทดลองครั้งที่ 5

จากการทดลองครั้งที่ 5 พบร่วมกับการเกิดการอาร์ค (Electric Arc) ภายในอากาศระหว่างขั้ว อิเล็กโทรดทั้ง 2 ขั้ว โดยเกิดการอาร์ค (Electric Arc) ในลักษณะแบบลอดผ่านฉนวนที่ทำจากซุปเปอร์ลีน (Superlene) ซึ่งสามารถทนความร้อนสูงได้มากกว่าแก้วควอตซ์ (Quartz Glass Tube) มีเส้นผ่านศูนย์กลางด้านในที่เจาะไว้สำหรับใช้สวมกับหลอดแก้วควอตซ์ (Quartz Glass Tube) มีขนาดใหญ่กว่าจึงไม่พอดีกับหลอดแก้วควอตซ์ (Quartz Glass Tube) จึงทำให้เกิดการอาร์ค (Electric Arc) ภายในอากาศระหว่างขั้วอิเล็กโทรดทั้ง 2 ขั้ว ในลักษณะแบบรอดผ่านฉนวนที่ทำจากซุปเปอร์ลีน (Superlene) ได้ และนอกจากการเกิดการอาร์ค (Electric Arc) ในลักษณะแบบรอดผ่านฉนวนที่ทำจากซุปเปอร์ลีน (Superlene) นั้นเกิดการเผาไหม้ระหว่างทำการทดลองดังภาพ 4.15 ซึ่งการเผาไหม้นี้ทำให้ฉนวนที่ทำจากซุปเปอร์ลีน (Superlene) เกิดการละลายติดกับหลอดแก้วควอตซ์ (Quartz Glass Tube) และไม่สามารถนำฉนวนที่ทำจากซุปเปอร์ลีน (Superlene) ที่เกิดการเผาไหม้แล้วมาใช้งานต่อได้ เพราะขนาดเส้นผ่านศูนย์กลางที่เจาะไว้สำหรับสวมกับหลอดแก้วควอตซ์ (Quartz Glass Tube) ให้พอดีนั้นจะมีขนาดกว้างขึ้นกว่าเดิม โดยสาเหตุการเผาไหม้และการเกิดการละลายของฉนวนที่ทำจากซุปเปอร์ลีน (Superlene) เป็นผลเนื่องมาจากการเกิดการอาร์ค (Electric Arc) ระหว่างขั้ว อิเล็กโทรดทั้ง 2 ขั้ว ในอากาศที่ลอดผ่านได้ระหว่างซุปเปอร์ลีน (Superlene) กับหลอดแก้วควอตซ์ (Quartz Glass Tube)



ภาพ 4.15 ชนวนที่ทำจากซุปเปอร์ลีนที่เกิดการเผาไหม้

#### 4.6 การทดลองครั้งที่ 6

จากการทดลองครั้งที่ 5 ที่พบว่าเกิดการอาร์ค (Electric Arc) ภายในอากาศระหว่างข้าวอิเล็กโตรดทั้ง 2 ข้าว โดยเกิดการอาร์ค (Electric Arc) ในลักษณะแบบรอดผ่านชนวนที่ทำจากซุปเปอร์ลีน (Superlene) ซึ่งสามารถจำกัดความร้อนของไฟฟ้าที่ส่งผ่านได้ดีกว่าชนวนที่ทำจากซุปเปอร์ลีน (Superlene) มีเส้นผ่านศูนย์กลางด้านในที่เจาะไว้สำหรับใช้สวมกับหลอดแก้วควอตซ์ (Quartz Glass Tube) มีขนาดใหญ่กว่าจึงไม่พอดีกับหลอดแก้วควอตซ์ (Quartz Glass Tube) จึงทำให้ผู้วิจัยแกะปัญหาโดยการเลื่อนข้าวอิเล็กโตรดขึ้บหากที่อยู่ด้านในไปใกล้กับบริเวณข้อต่อลมและทำการทดลองครั้งที่ 6 โดยอัตราการไหลของก๊าซอาร์กอนที่ใช้ทั้งหมดมี 3 ระดับ เพื่อทดสอบการเกิดในแต่ละระดับของอัตราการไหลของก๊าซอาร์กอน ซึ่งได้ผลการทดลองดังตาราง 4.7 พบว่าเกิดการอาร์ค (Electric Arc) ภายในหลอดแก้วควอตซ์ (Quartz Glass Tube) แต่เป็นการเกิดระหว่างข้าวอิเล็กโตรดขึ้บหากับข้อต่อลมและเกิดเป็นพลาสม่าเจ็ตที่ปลายprobe กำเนิดพลาasma ดังภาพ 4.16

ตาราง 4.7 ผลการทดลองในแต่ละระดับอัตราการไหลของก๊าซอาร์กอนของการทดลองครั้งที่ 6

อัตราการไหลของก๊าซอาร์กอน (ลิตรต่อนาที)	ผลการทดลอง
5	เกิดการอาร์คภายใน
10	เกิดการอาร์คภายใน
15	เกิดการอาร์คภายใน



ภาพ 4.16 ผลการทดลองครั้งที่ 6

#### 4.6.1 ปัญหาที่พบจากการทดลองครั้งที่ 6

จากผลการทดลองครั้งที่ 6 พบว่าเกิดการอาร์ค (Electric Arc) ระหว่างข้ออิเล็กโทรดข้าบวนกับกับข้อต่อล้มและเกิดเป็นพลาสมาร์จีต ซึ่งจากการที่ข้ออิเล็กโทรดข้าบวนกับกับข้อต่อล้มเกิดการอาร์ค (Electric Arc) กันส่งผลให้ข้อต่อล้มเกิดการเผาไหม้ของตัวพลาสติกดังภาพ 4.17 เนื่องจากค่าแรงดันทางไฟฟ้าที่สูงมากจึงทำให้เกิดความร้อน ซึ่งทำให้พลาสติกที่ตัวของข้อต่อล้มเกิดการเผาไหม้และละลาย



ภาพ 4.17 ข้อต่อล้มที่เกิดการเผาไหม้

#### 4.7 การทดลองครั้งที่ 7

จากการทดลองครั้งที่ 6 พบว่าเกิดการอาร์ค (Electric Arc) ระหว่างขั้วอิเล็กโตรดขั้วบวกกับข้อต่อลมและเกิดเป็นพลาasma เจ็ต ผู้วิจัยได้ทำการแก้ปัญหาโดยการเพิ่มจำนวนที่ทำจากชุบเปอร์ลีน (Superlene) รวมมีจำนวนกันทั้งหมด 2 ตัว โดยทำการใส่ไว้ที่หลอดแก้วควอตซ์ (Quartz Glass Tube) ที่เป็นprobe กำเนิดพลาasma โดยตัวที่หนึ่งมีระยะชิดกับข้อต่อลมแล้วจึงใส่ขั้วอิเล็กโตรดขั้วบวกซึ่งขั้วอิเล็กโตรดขั้วบวกที่นำมาใส่นั้นทำการเร้นระยะห่างจากจำนวนที่ทำจากชุบเปอร์ลีน (Superlene) บริเวณข้อต่อลมเพื่อไม่ให้เกิดการอาร์ค (Electric Arc) ระหว่างข้อต่อลมกับขั้วอิเล็กโตรดขั้วบวกในลักษณะแบบข้ามจำนวนที่ทำจากชุบเปอร์ลีน (Superlene) และจึงทำการสูบใส่จำนวนตัวที่สองที่ทำจากชุบเปอร์ลีน (Superlene) อีกตัวโดยทำหน้าที่เป็นจำนวนกันระหว่างขั้วอิเล็กโตรดทั้ง 2 ขั้ว เพื่อไม่ให้เกิดการอาร์ค (Electric Arc) ระหว่างขั้วอิเล็กโตรดทั้ง 2 ขั้ว ในลักษณะการเกิดการอาร์ค (Electric Arc) แบบภายในหลอดแก้วควอตซ์ (Quartz Glass Tube) ซึ่งหลังจากทำการสูบใส่จำนวนที่ทำจากชุบเปอร์ลีน (Superlene) ทั้ง 2 ตัว และขั้วอิเล็กโตรดทั้ง 2 ขั้ว ที่หลอดแก้วควอตซ์ (Quartz Glass Tube) ที่เป็นprobe กำเนิดพลาasma จะได้prob กำเนิดพลาasma ดังภาพ 4.18



ภาพ 4.18 prob กำเนิดพลาasma ของการทดลองครั้งที่ 7

หลังจากได้prob กำเนิดพลาasma ดังภาพ 4.18 และผู้วิจัยได้ทำการทดลองครั้งที่ 7 โดยมีอัตราการไหลของกําชาาร์กอนที่ใช้ทั้งหมดมี 3 ระดับ เพื่อทดสอบการเกิดในแต่ละระดับของอัตราการไหลของกําชาาร์กอน ซึ่งได้ผลการทดลองดังตาราง 4.8 พบว่าในระยะที่ขั้วอิเล็กโตรดทั้ง 2 ขั้ว ไม่เกิดการอาร์ค (Electric Arc) ในลักษณะแบบข้ามจำนวนที่ทำจากชุบเปอร์ลีน (Superlene) และนั้นจะทำให้เกิดการอาร์ค (Electric Arc) บริเวณขากรากดของตัวฟลายแบคคอนเวอร์เตอร์ (Flyback Converter) แทน ซึ่งบริเวณprob กำเนิดพลาasma พบว่าไม่เกิดการอาร์ค (Electric Arc)

ตาราง 4.8 ผลการทดลองในแต่ละระดับอัตราการไฟลของก้าซอาร์กอนของการทดลองครั้งที่ 7

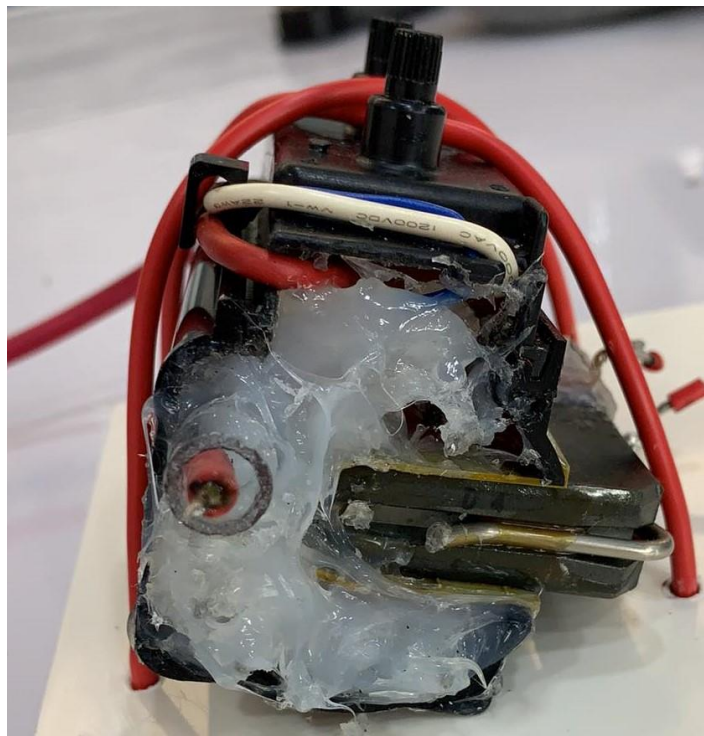
อัตราการไฟลของก้าซอาร์กอน (ลิตรต่อนาที)	ผลการทดลอง
5	เกิดการอาร์คบริเวณขากrawer
10	เกิดการอาร์คบริเวณขากrawer
15	เกิดการอาร์คบริเวณขากrawer

#### 4.7.1 ปัญหาที่พบจากการทดลองครั้งที่ 7

จากผลการทดลองครั้งที่ 7 นั้นเกิดการอาร์ค (Electric Arc) บริเวณขากrawer ของตัวฟลายแบคคอนเวอร์เตอร์ (Flyback Converter) ซึ่งเกิดการอาร์ค (Electric Arc) ในลักษณะการอาร์ค (Electric Arc) กับขาคู่อื่นของตัวฟลายแบคคอนเวอร์เตอร์ (Flyback Converter) จึงเป็นสาเหตุที่ทำให้มีเกิดการอาร์ค (Electric Arc) บริเวณที่เป็นโปรดักโนนเพราะเกิดการแบ่งค่าแรงดันทางไฟฟ้ามาที่ขากrawer

#### 4.8 การทดลองครั้งที่ 8

จากการทดลองครั้งที่ 7 ที่พบปัญหาเกิดการอาร์ค (Electric Arc) บริเวณขากrawer ของตัวฟลายแบคคอนเวอร์เตอร์ (Flyback Converter) ซึ่งเกิดการอาร์ค (Electric Arc) ในลักษณะการอาร์ค (Electric Arc) กับขาคู่อื่นของตัวฟลายแบคคอนเวอร์เตอร์ (Flyback Converter) ผู้วิจัยจึงได้หาวิธีการที่จะแก้ไขปัญหาดังกล่าวเพื่อไม่ให้เกิดการอาร์ค (Electric Arc) กับขาคู่อื่นของตัวฟลายแบคคอนเวอร์เตอร์ (Flyback Converter) โดยได้ทำการตัดหลอดโบโรซิลิกเกต (Borosilicate Glass Tube) ขนาดเส้นผ่านศูนย์กลาง 8 มิลลิเมตร ให้มีความยาว 3 เซนติเมตร และนำมาสวมบริเวณที่เป็นขากrawer ของตัวฟลายแบคคอนเวอร์เตอร์ (Flyback Converter) เพราะเนื่องจากหลอดโบโรซิลิกเกต (Borosilicate Glass Tube) นั้นมีค่าความคงทนไดอิเล็กทริก (Dielectric Strength) สูงทำให้สามารถนำมาเป็นฉนวนบริเวณขากrawer ของตัวฟลายแบคคอนเวอร์เตอร์ (Flyback Converter) ได้โดยได้ทำการยืดขากrawer เข้ากับตัวฟลายแบคคอนเวอร์เตอร์ (Flyback Converter) ผ่านการซิลิโคนเนื่องจากภาวะซิลิโคนมีค่าความคงทนไดอิเล็กทริก (Dielectric Strength) สูงกว่าภาวะรرمดา ซึ่งจากทำการทวนน้ำที่ขากrawer ของตัวฟลายแบคคอนเวอร์เตอร์ (Flyback Converter) ดังกล่าวจะได้ฉนวนที่ขากrawer ของตัวฟลายแบคคอนเวอร์เตอร์ (Flyback Converter) ดังภาพ 4.19



ภาพ 4.19 การทำฉนวนที่ขากräder ของตัวฟลายแบคคอนเวอร์เตอร์

จากนั้นจึงได้ทำการทดลองโดยใช้ปืนกำเนิดพลาสmaแบบเดี่ยวกันกับการทดลองครั้งที่ 7 โดยอัตราการไฟลของก้าชาร์กอนที่ใช้ทั้งหมดมี 3 ระดับ เพื่อทดสอบการเกิดในแต่ละระดับของการทดลอง ซึ่งได้ผลการทดลองดังตาราง 4.9 ซึ่งจากการทดลองครั้งที่ 8 พบร่วมกับการ试验 (Electric Arc) ของขั้วอิเล็กโทรดขั้วบวกกับตัวข้อต่อลม โดยเกิดการอาร์ค (Electric Arc) ในลักษณะแบบลอดผ่านฉนวนที่ทำจากซุปเปอร์ลีน (Superlene) และอาร์ค (Electric Arc) กับตัวข้อต่อลมเกิดเป็นพลาสmaเจ็ทที่ปลายปืนกำเนิดพลาสma

ตาราง 4.9 ผลการทดลองในแต่ละระดับอัตราการไฟลของก้าชาร์กอนของการทดลองครั้งที่ 8

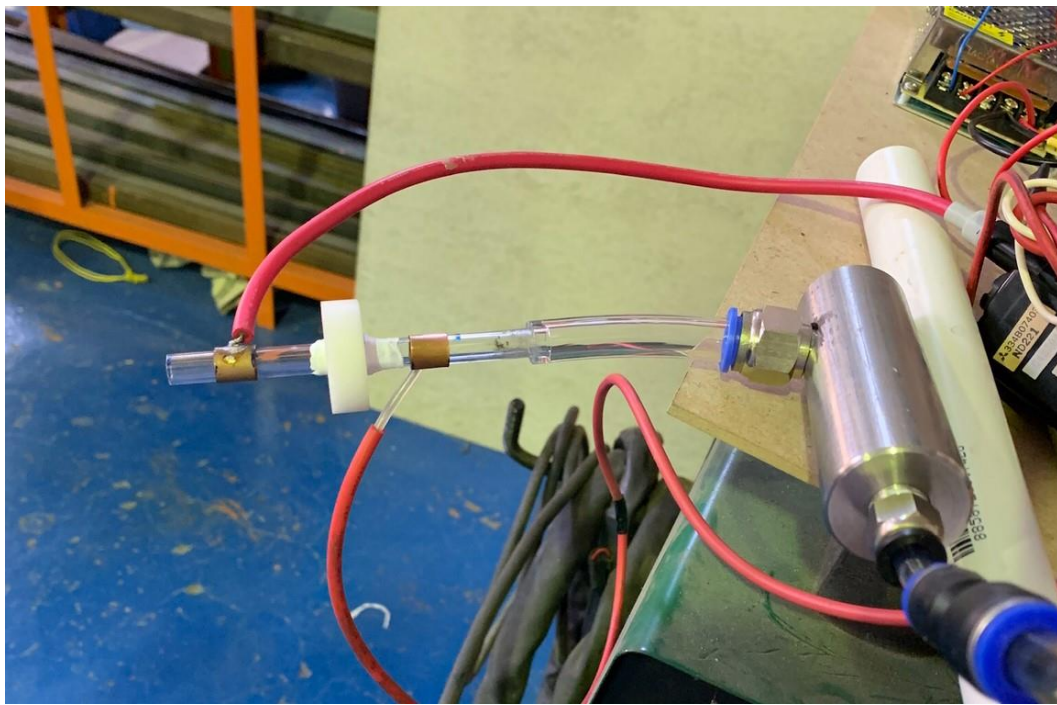
อัตราการไฟลของก้าชาร์กอน (ลิตรต่อนาที)	ผลการทดลอง
5	เกิดการอาร์คภายใน
10	เกิดการอาร์คภายใน
15	เกิดการอาร์คภายใน

#### 4.8.1 ปัญหาที่พบจากการทดลองครั้งที่ 8

จากการทดลองครั้งที่ 8 พบว่าเกิดการอาร์ค (Electric Arc) ของข้ออิเล็กโทรดข้าบ梧กับตัวข้อต่อลม โดยเกิดการอาร์ค (Electric Arc) ในลักษณะแบบลอดผ่านฉนวนที่ทำจากซุปเปอร์ลีน (Superlene) และอาร์ค (Electric Arc) กับตัวข้อต่อลมเกิดเป็นพลาสมาเจ็ตที่ปลายprobe กำเนิดพลาสมา ซึ่งสาเหตุมาจากการแรงดันทางไฟฟ้าที่สูงและฉนวนที่ทำจากซุปเปอร์ลีน (Superlene) นั้นมีขนาดเส้นผ่านศูนย์กลางด้านในที่เจาะเพื่อนำมาสวมกับหลอดแก้วควอตซ์ (Quartz Glass Tube) มีขนาดไม่พอดีกัน โดยขนาดเส้นผ่านศูนย์กลางด้านในที่เจาะของฉนวนที่ทำจากซุปเปอร์ลีน (Superlene) นั้นมีขนาดเส้นผ่านศูนย์กลางมากกว่าเพียงเล็กน้อยเท่านั้น ซึ่งเป็นค่าที่คลาดเคลื่อนจากการเจาะซุปเปอร์ลีน (Superlene) โดยคลาดเคลื่อนประมาณ 0.005 มิลลิเมตร จึงทำให้อิเล็กตรอนสามารถวิ่งผ่านไปยังตัวข้อต่อลมและเกิดการอาร์ค (Electric Arc) ได้ ซึ่งเมื่อทำการแก้ไขปัญหาโดยการเลื่อนข้ออิเล็กโทรดข้าบ梧กให้ห่างจากผู้วิจัยพบว่าข้ออิเล็กโทรดทั้ง 2 ข้อ เกิดการอาร์ค (Electric Arc) กันภายนอกหลอดแก้วควอตซ์ (Quartz Glass Tube) โดยเกิดในลักษณะแบบอ้อมฉนวนที่ทำจากซุปเปอร์ลีน (Superlene)

#### 4.9 การทดลองครั้งที่ 9

จากการทดลองครั้งที่ 8 พบว่าเกิดการอาร์ค (Electric Arc) ของข้ออิเล็กโทรดข้าบ梧กับตัวข้อต่อลม โดยเกิดการอาร์ค (Electric Arc) ในลักษณะแบบลอดผ่านฉนวนที่ทำจากซุปเปอร์ลีน (Superlene) และอาร์ค (Electric Arc) กับตัวข้อต่อลมเกิดเป็นพลาสมาเจ็ตที่ปลายprobe กำเนิดพลาสมา ซึ่งผู้วิจัยได้ทำการแก้ไขปัญหาโดยการเปลี่ยนแปลงแบบโครงสร้างที่ใช้ในการประกอบชุดควบคุมอัตราการไหลของก๊าซ ซึ่งได้ทำการเปลี่ยนในส่วนของตัวข้อต่อลมที่ใช้ต่อเพื่อเชื่อมระหว่างสายลมพีวี (Polyurethane Tube) เข้ากับหลอดแก้วควอตซ์ (Quartz Glass Tube) โดยทำการต่อหลอดแก้วควอตซ์เข้ากับสายลมพีวี (Polyurethane Tube) ขนาด 8x12 โดยตรงแทนดังภาพ 4.20



ภาพ 4.20 การต่อชุดควบคุมอัตตราการไอลก้าซของการทดลองครั้งที่ 9

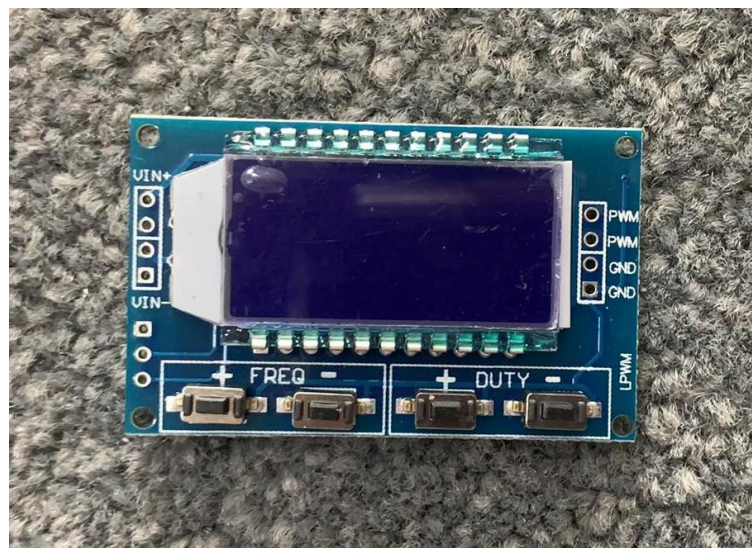
จากนั้นจึงได้ทำการทดลองครั้งที่ 9 ซึ่งในการทดลองครั้งที่ 9 นี้ได้ใช้ปรับกำเนิดพลาasma แบบเดียวกันกับการทดลองครั้งที่ 7 แต่ได้นำจำนวนที่ทำจากซุปเปอร์ลีน (Superlene) บริเวณที่ใช้กันระหว่างตัวข้อต่อลมกับข้ออิเล็กโทรดข้าวบวกออกและได้ใช้เทปพันเกลียวพันบริเวณรอบรูที่เจาะของซุปเปอร์ลีน (Superlene) ซึ่งเป็นรูที่เจาะไว้สำหรับส่วนหลอดแก้วควอตซ์ (Quartz Glass Tube) เพื่อไม่ให้เกิดช่องว่างระหว่างซุปเปอร์ลีน (Superlene) กับหลอดแก้วควอตซ์ (Quartz Glass Tube) โดยอัตราการไอลก้าซาร์กอนที่ใช้น้ำยาอยู่ที่ 15 ลิตรต่อนาที ซึ่งจากการทดลองพบว่าไม่เกิดสนานไฟฟ้าภายในหลอดแก้วควอตซ์ (Quartz Glass Tube) ตามที่ต้องการ

#### 4.9.1 ปัญหาที่พบจากการทดลองครั้งที่ 9

จากการทดลองครั้ง 9 พบร่วมกับสนานไฟฟ้าภายในหลอดแก้วควอตซ์ (Quartz Glass Tube) เนื่องจากเส้นผ่านศูนย์กลางของหลอดแก้วควอตซ์ (Quartz Glass Tube) มีขนาดอาจไม่สัมพันธ์กับค่าแรงดันไฟฟ้าที่วงจรสามารถผลิตได้ โดยหลอดแก้วควอตซ์ (Quartz Glass Tube) ที่ใช้อยู่นั้นมีขนาดเส้นผ่านศูนย์กลาง 8 มิลลิเมตร ซึ่งยิ่งขนาดของหลอดแก้วควอตซ์ (Quartz Glass Tube) ยิ่งมากก็จะเป็นต้องใช้ค่าแรงดันไฟฟ้าสูงตามด้วย โดยมีสมมุตฐานว่าค่าแรงดันไฟฟ้าที่วงจรสามารถผลิตได้ จะไม่เพียงพอที่จะทำให้เกิดสนานไฟฟ้าภายในหลอดแก้วควอตซ์ (Quartz Glass Tube) ที่มีขนาดเส้นผ่านศูนย์กลาง 8 มิลลิเมตรได้

#### 4.10 การทดลองครั้งที่ 10

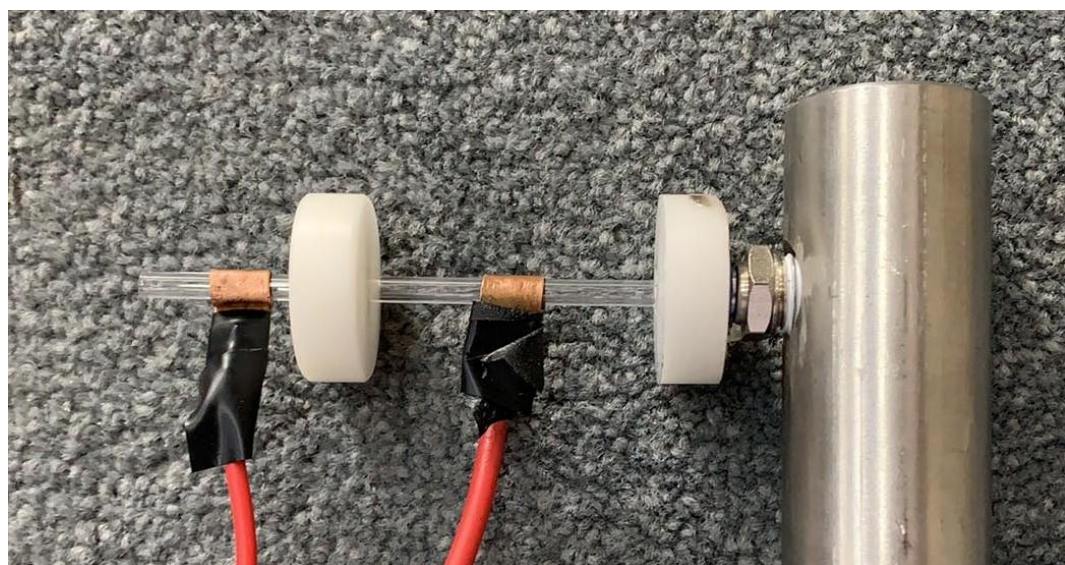
จากการทดลองครั้งที่ 9 พบร่วมกับการทดลองครั้งที่ 2 ข้อผู้วิจัยจึงได้ทำการเปลี่ยนแปลงแบบโครงสร้างที่ใช้ในการประกอบชุดควบคุมอัตตราการไฟลของก้าช ซึ่งได้ทำการเปลี่ยนในส่วนของหลอดแก้วควอตซ์ (Quartz Glass Tube) โดยทำการลดขนาดของหลอดแก้วควอตซ์ (Quartz Glass Tube) ที่ใช้ในการทดลองลงเป็นขนาด 4.2 มิลลิเมตร ที่ความยาว 10 เซนติเมตร โดยเป็นความยาวเดียวกันกับหลอดแก้วควอตซ์ (Quartz Glass Tube) ขนาด 8 มิลลิเมตร สาเหตุที่ลดขนาดของหลอดแก้วควอตซ์ (Quartz Glass Tube) ลงนั้นเพื่อให้สัมพันธ์กันกับค่าแรงดันไฟฟ้าที่วงจรสามารถผลิตได้ และนอกจากนี้ได้ทำการเปลี่ยนวงจรกำเนิดสัญญาณแบบรวมเข้ากับ IC 555 เป็นตัวกำเนิดสัญญาณวงจรความถี่พัลส์แบบที่สามารถปรับค่าความถี่และค่าเบอร์เซ็นต์ได้โดยใช้เคิลได้ผ่านโมดูลหน้าจอแสดงผลแบบแอลซีดีดังภาพ 4.21



ภาพ 4.21 ตัวกำเนิดสัญญาณวงจรความถี่พัลส์แบบที่สามารถปรับค่าความถี่และค่าเบอร์เซ็นต์ ดิวตี้ไซเคิลได้ผ่านโมดูลหน้าจอแสดงผลแบบแอลซีดี

เนื่องจากวงจรกำเนิดสัญญาณแบบรวมเข้ากับ IC 555 ใน การปรับค่าความถี่และเบอร์เซ็นต์ ดิวตี้ไซเคิลนั้นไม่มีหน้าจอแสดงผลค่าความถี่และเบอร์เซ็นต์ดิวตี้ไซเคิลที่ทำการปรับ ซึ่งทำให้ยากต่อ การปรับค่าเพื่อลดแรงดันไฟฟ้าในวงจรหรือเพิ่มแรงดันไฟฟ้าในวงจร โดยหลังจากที่ทำการเปลี่ยนตัว กำเนิดสัญญาณวงจรความถี่พัลส์แบบที่สามารถปรับค่าความถี่และค่าเบอร์เซ็นต์ดิวตี้ไซเคิลได้ผ่าน โมดูลหน้าจอแสดงผลแบบแอลซีดีได้ทำวัดค่าแรงดันไฟฟ้าของวงจร โดยใช้probeวัดค่าไฟฟ้าแรงดันสูง ที่อัตราส่วน 1 : 1,000 กับ มัลติมิเตอร์ (Multimeter) พบร่วมกับค่าแรงดันไฟฟ้าสูงสุดที่ตัวกำเนิด สัญญาณวงจรความถี่พัลส์แบบที่สามารถปรับค่าความถี่และค่าเบอร์เซ็นต์ดิวตี้ไซเคิลได้ผ่านโมดูลหน้า

จะแสดงผลแบบแอลซีดีสามารถผลิตได้มีค่าอยู่ที่ประมาณ 12 กิโลโวลต์ โดยใช้ความถี่ 93 กิโลเฮิรตซ์ และเปอร์เซ็นต์ดิวตี้ไซเคิล 75 เปอร์เซ็นต์ ทำให้ในการทดลองครั้งที่ 10 จึงใช้ค่าแรงดันไฟฟ้าในการทดลองอยู่ที่ 12 กิโลโวลต์ เพื่อให้ค่าแรงดันไฟฟ้าของวงจรมีค่ามากกว่าค่าความคงทนได้อิเล็กทริก (Dielectric Strength) ของหลอดแก้วควอตซ์ (Quartz Glass Tube) โดยในการทดลองครั้งที่ 10 ได้ทำการต่อหลอดแก้วควอตซ์ (Quartz Glass Tube) ขนาด 4 มิลลิเมตร เข้ากับข้อต่อลมที่เป็นตัวเชื่อม กับห้องพักก้าชจากนั้นได้ทำการเปลี่ยนขนาดความยาวของทองแดงที่ใช้เป็นข้ออิเล็กโทรดทั้ง 2 ขัว เป็นความยาว 1 เซนติเมตร นอกจากนี้ยังได้จำนวนที่ทำจากชุบเปอร์ลีน (Superlene) ใหม่ ซึ่งมีขนาดเส้นผ่านศูนย์กลางที่ทำการเจาะรูอยู่ที่ 4 มิลลิเมตร และมีความหนา กับขนาดหน้าตัดเท่าเดิม เพื่อใช้รวมกับหลอดแก้วควอตซ์ (Quartz Glass Tube) โดยจะทำการรวมฉนวนที่ทำจากชุบเปอร์ลีน (Superlene) เป็นจำนวนทั้งหมด 2 ตัว จากนั้นจึงได้ทำการประกอบโดยรีบกำเนิดพลาสma โดยทำการรวมฉนวนที่ทำจากชุบเปอร์ลีน (Superlene) ตัวแรกเข้าไปก่อนแล้วจึงทำการรวมข้ออิเล็กโทรด ขัวบางหลังจากนั้นทำการรวมฉนวนที่ทำจากชุบเปอร์ลีน (Superlene) ตัวที่สอง ซึ่งเป็นตัวกันระหว่างข้ออิเล็กโทรดทั้ง 2 ขัว จากนั้นจึงทำการรวมข้ออิเล็กโทรดขัวกราวด์เป็นลำดับสุดท้าย ซึ่งขัวอิเล็กโทรดขัวกราวด์จะอยู่ที่ฝั่งปลายของหลอดแก้วควอตซ์ (Quartz Glass Tube) จึงทำให้ได้รีบ กำเนิดพลาสma ดังภาพ 4.22 และทำการทดลองครั้งที่ 10 โดยอัตราการไหลของก๊าซอาร์กอนที่ใช้นั้นอยู่ที่ 15 ลิตรต่อนาที



ภาพ 4.22 รีบกำเนิดพลาสma ของการทดลองครั้งที่ 10

จากการทดลองครั้งที่ 10 พบร่วมในระยะที่ขัวอิเล็กโทรดทั้ง 2 ขัว อยู่ห่างกันจนไม่สามารถเกิด การอาร์ค (Electric Arc) ในลักษณะแบบอ้อมฉนวนที่ทำจากชุบเปอร์ลีน (Superlene) ได้นั้นพบว่า

เกิดการอาร์ค (Electric Arc) ของข้ออิเล็กโทรดขั่วบวกกับข้อต่อลมที่เป็นตัวเชื่อมกับห้องพักก๊าซ โดยมีลักษณะการอาร์ค (Electric Arc) แบบลดผ่านฉนวนที่ทำจากซุปเปอร์ลีน (Superlene) และเกิดเป็นพลาสม่าเจ็ตที่ปลายprobeกำเนิดพลาสม่า

#### 4.10.1 ปัญหาที่พบจากการทดลองครั้งที่ 10

จากการทดลองครั้งที่ 10 พบว่าเกิดการอาร์ค (Electric Arc) ของข้ออิเล็กโทรดขั่วบวกกับข้อต่อลมที่เป็นตัวเชื่อมกับห้องพักก๊าซ โดยมีลักษณะการอาร์ค (Electric Arc) แบบลดผ่านฉนวนที่ทำจากซุปเปอร์ลีน (Superlene) และเกิดเป็นพลาสม่าเจ็ตที่ปลายprobeprobeกำเนิดพลาสม่า ซึ่งสาเหตุมาจากการขาดฉนวนที่ทำจากซุปเปอร์ลีน (Superlene) นั้นไม่พอดีกับหน้าตัดหลอดแก้วควอตซ์ (Quartz Glass Tube) ทำให้มีอ่าวรวมฉนวนที่ทำจากซุปเปอร์ลีน (Superlene) ไปแล้วนั้นซุปเปอร์ลีน (Superlene) ไม่แนบกับหน้าตัดหลอดแก้วควอตซ์ (Quartz Glass Tube) จึงทำให้สามารถเกิดการอาร์ค (Electric Arc) ของข้ออิเล็กโทรดขั่วบวกกับข้อต่อลมที่เป็นตัวเชื่อมกับห้องพักก๊าซได้

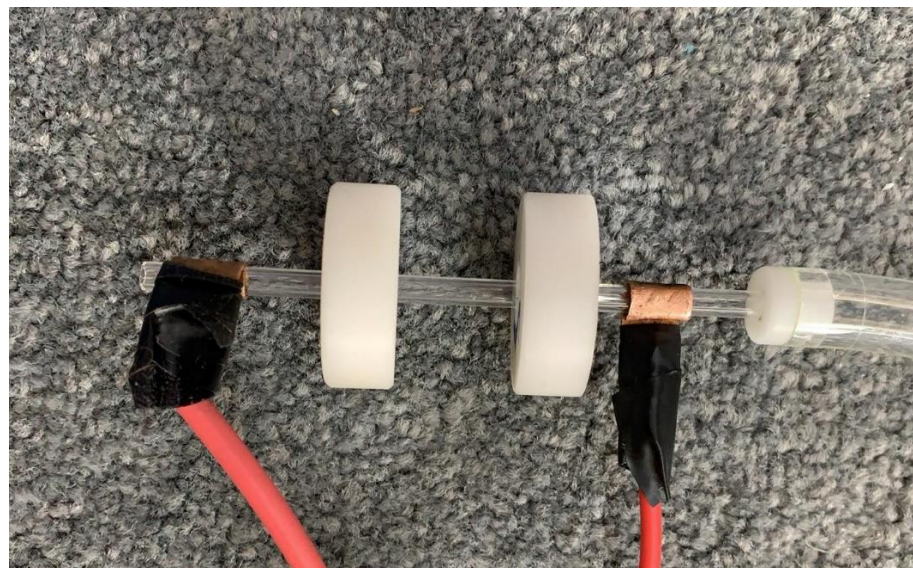
#### 4.11 การทดลองครั้งที่ 11

จากการทดลองครั้งที่ 10 พบว่าเกิดการอาร์ค (Electric Arc) ของข้ออิเล็กโทรดขั่วบวกกับข้อต่อลมที่เป็นตัวเชื่อมกับห้องพักก๊าซ ซึ่งผู้วิจัยจึงได้ทำการแก้ไขปัญหาโดยการเปลี่ยนแปลงแบบโครงสร้างที่ใช้ในการประกอบชุดควบคุมอัตราการไหลของก๊าซ โดยการเปลี่ยนหัวข้อต่อลมที่เป็นตัวเชื่อมระหว่างห้องพักก๊าซกับหลอดแก้วควอตซ์ (Quartz Glass Tube) จากเดิมที่ทำการต่อหลอดแก้วควอตซ์ (Quartz Glass Tube) เข้ากับตัวข้อต่อลมโดยตรงเป็นการต่อข้อต่อลมเข้ากับสายลมพีวีซี (Polyurethane Tube) ขนาด  $8 \times 12$  แทนจากนั้นผู้วิจัยได้ทำการออกแบบหัวข้อต่อที่เป็นตัวเชื่อมระหว่างสายลมพีวีซี (Polyurethane Tube) ให้เข้ากับหลอดแก้วควอตซ์ (Quartz Glass Tube) โดยหัวข้อต่อดังกล่าวเป็นหัวข้อต่อที่ทำขึ้นจากซุปเปอร์ลีน (Superlene) ซึ่งมีขนาดหน้าตัด 8 มิลลิเมตร ความหนารวมของหัวข้อต่อลมที่ทำขึ้นจากซุปเปอร์ลีน (Superlene) คือ 3 เซนติเมตร โดยทำการเจาะรูทรงกล่างให้มีขนาดเส้นผ่านศูนย์กลาง 4 มิลลิเมตร และทำการเจาะรูทรงกล่างที่หน้าตัดอีกด้านของซุปเปอร์ลีน (Superlene) โดยทำการเจาะรูทรงกล่างให้มีขนาดเส้นผ่านศูนย์กลาง 6 มิลลิเมตร ซึ่งเป็นการเจาะแบบไม่ทะลุ โดยมีขนาดความหนา 2 เซนติเมตร และทำการปอกผิวข้อต่อลมซุปเปอร์ลีน (Superlene) ด้านหน้าตัดที่เจาะรูขนาดเส้นผ่านศูนย์กลาง 6 มิลลิเมตร โดยทำการปอกผิวข้อต่อลมซุปเปอร์ลีน (Superlene) ออก 2 มิลลิเมตร ที่ความหนา 2 เซนติเมตร เพื่อให้ข้อต่อลมซุปเปอร์ลีน (Superlene) สามารถสวมเข้ากับสายลมพีวีซี (Polyurethane Tube) ขนาด  $8 \times 12$  ได้ ซึ่งจากการออกแบบข้อต่อลมที่ทำจากซุปเปอร์ลีน (Superlene) ดังกล่าวจะได้ข้อต่อลมซุปเปอร์ลีน (Superlene) ดังภาพ 4.23



ภาพ 4.23 ข้อต่อломที่ทำจากซุปเปอร์ลีน

จากนั้นได้ทำการทดลองครั้งที่ 11 โดยทำการประกอบprobe กำเนิดพลาสตังนี้ นำหลอดแก้วควอตซ์ (Quartz Glass Tube) ขนาด 4 มิลลิเมตร ต่อเข้ากับข้อต่อломที่ทำจากซุปเปอร์ลีน (Superlene) โดยนำหลอดแก้วควอตซ์ (Quartz Glass Tube) ใส่เข้าไปที่ขนาดความหนา 3 เซนติเมตร ของข้อต่อломที่ทำจากซุปเปอร์ลีน (Superlene) โดยข้อต่อломที่ทำจากซุปเปอร์ลีน (Superlene) ทำหน้าที่เป็นตัวเชื่อมระหว่างสายลมพีวี (Polyurethane Tube) ขนาด 8x12 เข้ากับหลอดแก้วควอตซ์ (Quartz Glass Tube) จากนั้นจึงได้ทำการรวมข้าวอิเล็กโตรดข้าวบวกเข้ากับหลอดแก้วควอตซ์ (Quartz Glass Tube) และจึงทำการรวมจนวนกันข้าวอิเล็กโตรดทั้ง 2 ข้าว ที่ทำขึ้นจากซุปเปอร์ลีน (Superlene) ซึ่งได้ทำการรวมจนวนที่ทำจากซุปเปอร์ลีน (Superlene) เป็นจำนวน 2 ตัว เพื่อไม่ให้เกิดช่องว่างระหว่างจนวนที่ทำจากซุปเปอร์ลีน (Superlene) กับหลอดแก้วควอตซ์ (Quartz Glass Tube) จากนั้นได้ทำการรวมข้าวอิเล็กโตรดข้าวราวด์เข้ากับหลอดแก้วควอตซ์ (Quartz Glass Tube) ซึ่งจะทำให้ได้probe กำเนิดพลาสม่าดังภาพ 4.24



ภาพ 4.24 probe กำเนิดพลาสม่าของการทดลองครั้งที่ 11

ทำการทดลองครั้งที่ 11 โดยให้ระยะห่างระหว่างข้ออิเล็กโทรดทั้ง 2 ข้อ ห่างกันจนไม่สามารถเกิดการอาร์ค (Electric Arc) ของข้ออิเล็กโทรดทั้ง 2 ข้อ ในลักษณะแบบอ้อมช่วงที่ทำจากซุปเปอร์ลีน (Superlene) ได้ ซึ่งอัตราการไหลของกําารอกร้อนที่ใช้น้ำยาที่ 15 ลิตรต่อนาที หลังจากนั้นได้ทำการทดลองครั้งที่ 11 ซึ่งพบว่าจากการทดลองเกิดการอาร์ค (Electric Arc) ด้านในหลอดแก้วควอตซ์ (Quartz Glass Tube) ซึ่งสาเหตุที่เกิดนั้นเกิดจากการอาร์ค (Electric Arc) ของข้ออิเล็กโทรดข้าบ梧 กับข้ออิเล็กโทรดข้าบราวน์ โดยเป็นการอาร์ค (Electric Arc) ในลักษณะแบบอ้อมเข้าทางซ่องว่างที่ เกิดขึ้นระหว่างข้อต่อลมที่ทำจากซุปเปอร์ลีน (Superlene) กับสายลมพียู (Polyurethane Tube) และเกิดเป็นพลาasmaเจ็ทที่ปลายprobeกำเนิดพลาasma ดังภาพ 4.25



ภาพ 4.25 ผลการทดลองครั้งที่ 11

#### 4.11.1 ปัญหาที่พบจากการทดลองครั้งที่ 11

จากผลการทดลองครั้งที่ 11 พบร่วมกับการอาร์ค (Electric Arc) ด้านในหลอดแก้วควอตซ์ (Quartz Glass Tube) ของข้ออิเล็กโทรดข้าบ梧 กับข้ออิเล็กโทรดข้าบราวน์ โดยเป็นการอาร์ค (Electric Arc) ในลักษณะแบบอ้อมเข้าทางซ่องว่างที่เกิดขึ้นระหว่างข้อต่อลมที่ทำจากซุปเปอร์ลีน (Superlene) กับสายลมพียู (Polyurethane Tube) และเกิดเป็นพลาasmaเจ็ทที่ปลายprobeกำเนิดพลาasmaนั้น ซึ่งหากเกิดการอาร์ค (Electric Arc) เป็นระยะเวลานานติดต่อกันจะทำให้เกิดการเผาไหม้และละลายของซุปเปอร์ลีน (Superlene) ที่ทำหน้าที่เป็นข้อต่อลมออกจากนี้จะส่งผลทำให้เกิดรอยร้าวที่ข้อต่อลมที่ทำขึ้นจากซุปเปอร์ลีน (Superlene) ได้

#### 4.12 การทดลองครั้งที่ 12

จากการทดลองครั้งที่ 11 ที่พบปัญหาเกิดการอาร์ค (Electric Arc) ด้านในหลอดแก้วควอตซ์ (Quartz Glass Tube) ของข้ออิเล็กโตรดข้อบวกกับข้ออิเล็กโตรดข้อกราวด์ โดยเป็นการอาร์ค (Electric Arc) ในลักษณะแบบอ้อมเข้าทางซ่องว่างที่เกิดขึ้นระหว่างข้อต่อломที่ทำจากชุบเบอร์ลีน (Superlene) กับสายลมพียู (Polyurethane Tube) และเกิดเป็นพลาスマเจ็ตที่ปลายprobeกำเนิดพลาสมานั้น ซึ่งทำให้ผู้วิจัยได้หัวรีแท็ปปูน้ำโดยการนำภาชนะมาใช้อุดตามรอยต่อระหว่างข้อต่อломที่ทำขึ้นจากชุบเบอร์ลีน (Superlene) กับสายลมพียู (Polyurethane Tube) จากนั้นได้ทำการประกอบprobeกำเนิดพลาasmaในลักษณะแบบเดียวกันกับการทดลองครั้งที่ 11 แต่ได้ทำการเปลี่ยนตำแหน่งจำนวนก้นที่ทำขึ้นจากชุบเบอร์ลีน (Superlene) โดยได้ทำการย้ายจำนวนที่ทำขึ้นจากชุบเบอร์ลีน (Superlene) จำนวน 1 ตัว ไปยังบริเวณที่ติดกับข้อต่อломที่ทำขึ้นจากชุบเบอร์ลีน (Superlene) เพื่อทำหน้าที่กันระหว่างข้อต่อломชุบเบอร์ลีน (Superlene) กับข้ออิเล็กโตรดข้อบวกเพื่อไม่ให้เกิดการอาร์ค (Electric Arc) ในลักษณะแบบลดผ่านซ่องข้อต่อломชุบเบอร์ลีน (Superlene) กับหลอดแก้วควอตซ์ (Quartz Glass Tube) จากนั้นจึงได้ทำการทดลองครั้งที่ 12 โดยให้ข้ออิเล็กโตรดทั้ง 2 ข้อ มีระยะห่างกันจนไม่สามารถเกิดการอาร์ค (Electric Arc) ในลักษณะแบบอ้อมจำนวนที่ทำขึ้นจากชุบเบอร์ลีน (Superlene) ได้ ซึ่งอัตราการไหลของกําชาาร์กอนที่ใช้น้อยที่ 15 ลิตรต่อนาที จากนั้นจึงได้ทำการทดลอง ซึ่งจากการทดลองพบว่า เกิดพลาasmaเจ็ตที่ปลายprobeกำเนิดพลาasmaดังภาพ 4.26



ภาพ 4.26 ผลการทดลองครั้งที่ 12

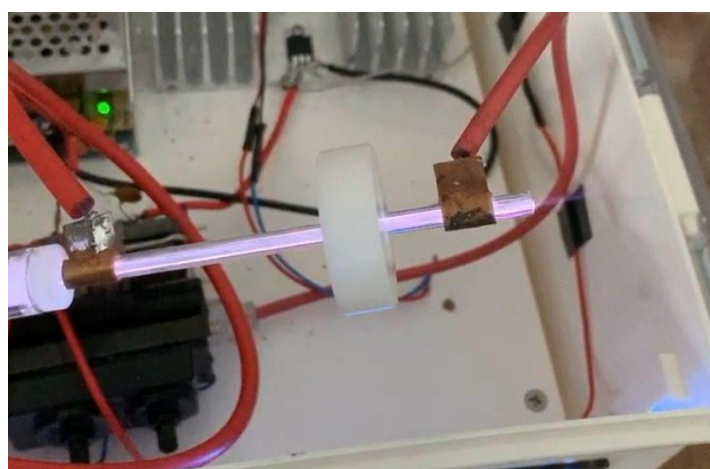
##### 4.12.1 ปัญหาที่พบจากการทดลองครั้งที่ 12

จากการทดลองครั้งที่ 12 พบว่าพลาasmaเจ็ตที่เกิดขึ้นบริเวณปลายprobeพลาasmaนั้นมีปริมาณที่น้อยมากเมื่อมองด้วยตาเปล่าและนอกจากนี้ยังไม่สามารถวิเคราะห์ได้ด้วยตาเปล่าว่าเป็น

การเกิดพลาสมาจากการอาร์ค (Electric Arc) ของข้ออิเล็กโทรดทั้ง 2 ข้าง ในลักษณะแบบใด ซึ่งทำให้ผู้วิจัยได้ทำการตรวจสอบวัดค่าแรงดันทางไฟฟ้าของวงจรอีกครั้ง โดยใช้probeวัดค่าไฟฟ้าแรงดันสูงที่อัตราส่วน 1 : 1,000 กับ มัลติมิเตอร์ (Multimeter) ซึ่งจากการตรวจสอบวัดค่าแรงดันทางไฟฟ้าของวงจรนั้นพบว่าค่าแรงดันไฟฟ้าของวงจรที่ได้ทำการปรับไว้ประมาณ 12 กิโลโวลต์ ที่ความถี่ของวงจร 93 กิโลเฮิรตซ์ และเปอร์เซ็นต์ตัวตีเซกิล 75 เปอร์เซ็นต์ นั้นมีค่าลดลงเหลือ 4 กิโลโวลต์เท่านั้นจึงทำให้ผู้วิจัยได้ทำการตรวจสอบอุปกรณ์ในวงจรเหล่านี้จ่ายไฟฟ้าแรงดันสูงความถี่สูงชนิดกระแสสลับและพบว่าอุปกรณ์ในวงจรที่เสียนั้นคือตัวflyback converter (Flyback Converter)

#### 4.13 การทดลองครั้งที่ 13

จากผลการทดลองครั้งที่ 12 หลังจากได้ทำการตรวจสอบอุปกรณ์ในวงจรเหล่านี้จ่ายไฟฟ้าแรงดันสูงความถี่สูงชนิดกระแสสลับและพบว่าอุปกรณ์ในวงจรที่เสียนั้นคือตัวflyback converter (Flyback Converter) ทางผู้วิจัยจึงได้ทำการจัดหาตัวflyback converter (Flyback Converter) ตัวใหม่มาเปลี่ยนแทนตัวflyback converter (Flyback Converter) ที่ได้เสียไป และได้ทำการพัฒนาด้วย โดยเป็นการพัฒนาด้วยรอบแกนปืนภูมิเมืองกับตัวflyback converter (Flyback Converter) ที่ได้เสียไปและการทดลองครั้งที่ 13 โดยได้เปลี่ยนความถี่ที่ใช้เป็น 0.088 กิโลเฮิรตซ์ และมีเปอร์เซ็นต์ตัวตีเซกิลอยู่ที่ 10 เปอร์เซ็นต์ เพื่อไม่ให้แรงดันทางไฟฟ้านั้นสูงจนเกินไปและนอกจากรายละเอียดที่ได้ทำการประกอบprobกำเนิดพลาสมาระบบใหม่ โดยได้ทำการรวมใส่ข้ออิเล็กโทรดข้างบนเข้าไปก่อนและใส่ชิ้นวนที่ทำจากซุปเปอร์ลีน (Superlene) ในลำดับถัดมาแล้วจึงใส่ข้ออิเล็กโทรดขั้วกราวด์ในลำดับสุดท้าย ซึ่งข้ออิเล็กโทรดขั้วกราวด์จะอยู่ที่ปลายprobกำเนิดพลาสมาระบบใหม่เมื่อประกอบprobกำเนิดพลาสมาระบบเสร็จแล้วนั้นจึงได้ทำการทดลองและได้ผลการทดลองดังภาพ 4.27



ภาพ 4.27 ผลการทดลองครั้งที่ 13

จากผลการทดลองครั้งที่ 13 ทำให้ได้พลาสmaเจ็ตตามที่ต้องการ โดยพลาสmaเจ็ตที่เกิดบริเวณของปลายprobeกำเนิดพลาสมานั้นมีความเสถียรมาก กล่าวคือได้เกิดพลาสmaเจ็ตแบบสม่ำเสมอและไม่เกิดการอาร์คข้ามจนวนกันระหว่างข้อวิเล็ก trod ทั้ง 2 ข้อ จึงทำให้สามารถนำพลาสmaเจ็ตที่เกิดขึ้นนี้ไปใช้ในการดิสชาร์จลงบนน้ำตาลฟรุกโตสไซรัปได้ในการทดลองลำดับถัดไป

#### 4.14 ทำการดิสชาร์จลงบนน้ำตาลฟรุกโตสไซรัป

จากผลการทดลองครั้งที่ 13 นั้นได้เกิดพลาสmaเจ็ตที่ปลายprobeกำเนิดพลาสma โดยเป็นพลาสmaเจ็ตที่มีความเสถียรผู้วิจัยจึงได้นำพลาสmaเจ็ตที่เกิดนั้นมาดำเนินการทำการดิสชาร์จลงบนน้ำตาลฟรุกโตสไซรัปดังภาพ 4.28

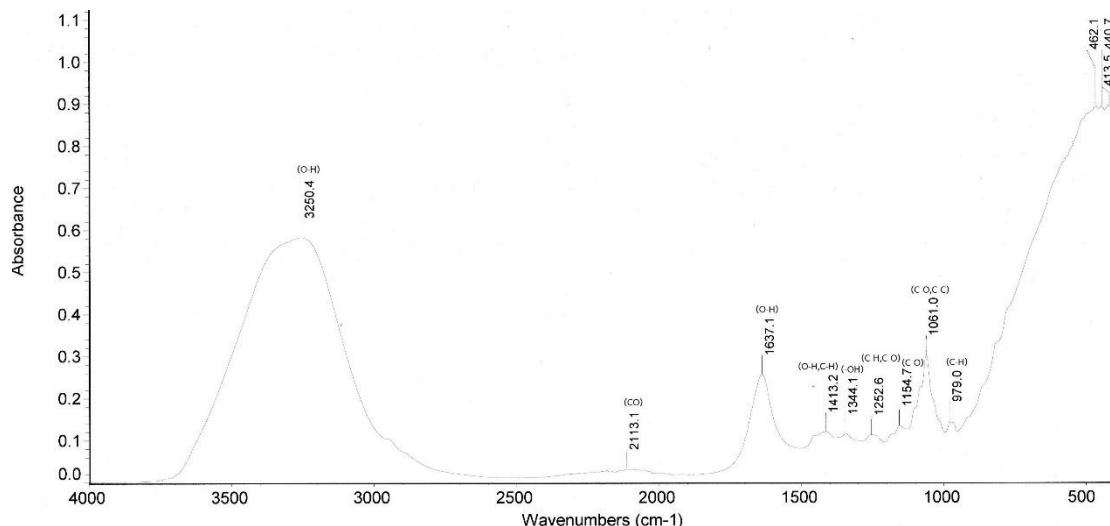


ภาพ 4.28 ทำการดิสชาร์จลงบนน้ำตาลฟรุกโตสไซรัป

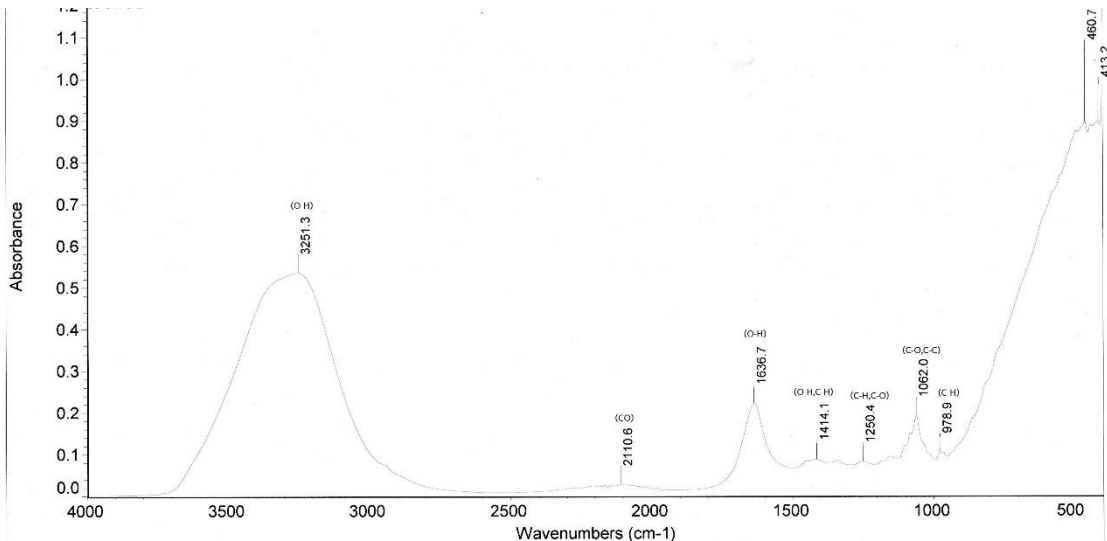
โดยปริมาณน้ำตาลฟรุกโตสไซรัปที่ใช้น้อยที่ 15 มิลลิลิตร และเวลาที่ใช้สำหรับทำการดิสชาร์จลงบนน้ำตาลฟรุกโตสไซรัปนั้นคือ 20 นาที ซึ่งปริมาณและเวลาที่ใช้นั้นผู้วิจัยได้อ้างอิงจากงานวิจัยในอดีต

#### 4.15 ผลทดสอบด้วยเครื่องนิวเคลียร์แมกเนติกเรโซแนนซ์สเปกโตรสโคปี (NMR)

หลังจากทำการติดสารลงบนน้ำตาลฟрукโตสไซรัปแล้วน้ำทางผู้วิจัยจึงได้ส่งตัวอย่างน้ำตาลฟrukโตสไซรัปที่ได้ทำการติดสารแล้วและน้ำตาลฟrukโตสไซรัปธรรมด้าไปทำการตรวจสอบด้วยเครื่องนิวเคลียร์แมกเนติกเรโซแนนซ์สเปกโตรสโคปี (NMR) ซึ่งจากการตรวจสอบทำให้ได้ทราบว่าน้ำตาลฟrukโตสไซรัปที่ได้ทำการติดสารจะแล้วน้ำเกิดการเปลี่ยนแปลงของพันธะไฮโดรเจนบางส่วน โดยมีความแตกต่างจากน้ำตาลฟrukโตสไซรัปธรรมด้า ซึ่งผลการทดสอบด้วยเครื่องนิวเคลียร์แมกเนติกเรโซแนนซ์สเปกโตรสโคปี (NMR) ของน้ำตาลฟrukโตสไซรัปของทั้ง 2 ตัวอย่าง นั้นมีลักษณะดังภาพ 4.29 และ 4.30



ภาพ 4.29 ผลทดสอบด้วยเครื่องนิวเคลียร์แมกเนติกเรโซแนนซ์สเปกโตรสโคปีของน้ำตาลฟruk  
โตสไซรัปธรรมด้า



ภาพ 4.30 ผลทดสอบด้วยเครื่องนิวเคลียร์แมกเนติกเรโซแนนซ์สเปกโตรสโคปของน้ำตาลฟрукต์ โถสไชร์ปที่ได้ทำการดิสชาร์จ

จากผลทดสอบด้วยเครื่องนิวเคลียร์แมกเนติกเรโซแนนซ์สเปกโตรสโคป (NMR) ของน้ำตาลฟрукต์โถสไชร์ปทั้ง 2 ตัวอย่าง น้ำพบร่วมกับผลของน้ำตาลฟрукต์โถสไชร์ปที่ได้ทำการดิสชาร์จแตกต่างจากผลของน้ำตาลฟрукต์โถสไชร์ปธรรมชาติ โดยพบว่ามีการแตกตัวของคู่พันธะไฮโดรเจนในน้ำตาลฟрукต์โถสไชร์ปที่ได้ทำการดิสชาร์จอย่างเห็นได้ชัดอยู่ 1 คู่พันธะ ได้แก่ (-OH) ซึ่งมีปริมาณลดลงจากเดิมอย่างเห็นได้ชัด โดยสังเกตได้จากพีคของ (-OH) ที่เปลี่ยนแปลงไปจากเดิมเนื่องจากเกิดการแตกตัวหลังจากได้รับพลังงานผ่านการดิสชาร์จและนอกจากน้ำคู่พันธะไฮโดรเจนอื่นๆ ก็เกิดการแตกตัวด้วยเช่นกันแต่เกิดในปริมาณน้อย ซึ่งคู่พันธะไฮโดรเจนที่เกิดการแตกตัวมีดังนี้ (O-H) , (C-H,C-O) , (C-H) ซึ่งคู่พันธะที่กล่าวมานั้นมีค่าพีคหลังจากการแตกตัวของพันธะไฮโดรเจนลดลงตามลำดับที่ได้กล่าวไปก่อนหน้าดังนี้ (1,636.7) , (1,250.4) , (978.9) โดยมีค่าพีคก่อนเกิดการแตกตัวของพันธะไฮโดรเจนตามลำดับที่ได้กล่าวไปก่อนหน้าดังนี้ (1,637.1) , (1,252.6) , (979)

## บทที่ 5

### สรุปผลการดำเนินงาน

ในบทนี้จะทำการสรุปผลการดำเนินงานที่ได้จากการศึกษาและทำการทดลองของผู้วิจัย โดยจะกล่าวถึงการวิเคราะห์เพื่อสรุปผลการดำเนินงาน ซึ่งจะกล่าวถึงปัจจัยที่มีผลต่อการดำเนินงานและส่งผลให้เกิดปัญหาในการดำเนินงาน รวมถึงปัญหาอุปสรรคและวิธีการแก้ไขปัญหาต่างๆ ในการดำเนินงานที่ได้นำมาใช้ตลอดระยะเวลาในการดำเนินงานของการทดลองทั้งหมด นอกจากนี้จะกล่าวถึงข้อเสนอแนะในการวิจัย เพื่อสามารถที่จะนำอางานวิจัยนี้ไปวิจัยต่ออยอดเพื่อให้ได้ระบบพลาสม่าเจ็ตที่สมบูรณ์ได้ในอนาคต

#### 5.1 สรุปผลการดำเนินงาน

จากการดำเนินการพัฒนาระบบพลาสม่าเจ็ตของผู้วิจัยนั้นทำให้สามารถพัฒนาระบบพลาสม่าเจ็ตได้ตามที่ต้องการ โดยสามารถใช้วงจรฟลายแบคคอนเวอร์เตอร์ (Flyback Converter) ที่ออกแบบขึ้นมาเป็นแหล่งจ่ายไฟฟ้าแรงดันสูงความถี่สูงชนิดกระแสสลับ ซึ่งมีค่าความถี่ที่ใช้เป็น 0.088 กิโลเฮิร์ตซ์ และมีเปอร์เซ็นต์ดิวตี้ไซเคิลที่ใช้อยู่ที่ 10 เปอร์เซ็นต์ โดยสามารถควบคุมความถี่และเปอร์เซ็นต์ดิวตี้ไซเคิลในวงจรฟลายแบคคอนเวอร์เตอร์ (Flyback Converter) ที่ได้ทำการออกแบบผ่านโมดูลหน้าจอแสดงผลแบบแอลซีดี จึงทำให้พลาสม่าเจ็ตที่เกิดบริเวณของปลายprobe กำเนิดพลาสmanınมีความเสถียรมาก โดยเกิดพลาสม่าเจ็ตแบบสม่ำเสมอและไม่เกิดการอาร์คข้ามฉนวนกันระหว่างขั้วอิเล็กโทรดทั้ง 2 ขั้ว จึงทำให้สามารถนำพลาสม่าเจ็ตที่เกิดขึ้นนี้ไปใช้ในการดิสชาร์จลงบนน้ำตาลฟรุกโตสไซรับได้ ซึ่งจากการทดลองดิสชาร์จลงบนน้ำตาลฟรุกโตสไซรับและทดสอบด้วยเครื่องนิวเคลียร์แมกเนติกเรโซโนนซ์สเปกโตรสโคปี (NMR) น้ำพบร่วงลดทดสอบด้วยเครื่องนิวเคลียร์แมกเนติกเรโซโนนซ์สเปกโตรสโคปี (NMR) ของน้ำตาลฟรุกโตสไซรับทั้ง 2 ตัวอย่าง นั้นมีความแตกต่างกัน โดยพบว่ามีการแตกตัวของคู่พันธะไฮโดรเจนในน้ำตาลฟรุกโตสไซรับที่ได้ทำการดิสชาร์จซึ่งคู่พันธะไฮโดรเจนที่ได้เกิดการแตกตัวนั้นได้แก่ (-OH), (O-H), (C-H,C-O), (C-H) โดยคู่พันธะไฮโดรเจนที่ได้กล่าวมานั้นมีค่าพีคที่ลดลงจากเดิม เพราะเกิดการแตกตัวของพันธะไฮโดรเจน ซึ่งสาเหตุ

ที่ทำให้เกิดการแตกตัวนั้นมาจากการได้รับพลังงานผ่านการดิสชาร์จ ซึ่งคู่พันธุ์ไฮโดรเจนที่เกิดการแตกตัวตามที่ได้กล่าวไปนั้นมีค่าพลังงานที่ใช้ในการสลายพันธุ์สำหรับการเกิดการแตกตัวได้ง่ายกว่าพันธุ์ที่มีค่าพลังงานที่ใช้ในการสลายพันธุ์สูงดังนั้นจากการทดลองจึงสามารถสรุปได้ว่าระบบพลasmaเจ็ตที่ได้ทำการพัฒนาขึ้นเพื่อนำมาประยุกต์ใช้นั้นสามารถทำให้เกิดการแตกตัวของพันธุ์ไฮโดรเจนในน้ำตาลฟรุกโตสไซรัปได้และนอกจากนี้ยังสามารถนำไปประยุกต์ใช้ในงานอื่นๆ ได้อีกด้วย เช่น การผลิตโอลิโคนเพื่อฆ่าเชื้อโรคในอากาศ เป็นต้น แต่อย่างไรก็ตามระบบพลasmaเจ็ตที่ได้ทำการพัฒนาขึ้นนี้จำเป็นต้องมีการพัฒนาและศึกษาเพิ่มเติม เพื่อให้ได้ระบบพลasmaเจ็ตที่สมบูรณ์มากยิ่งขึ้น

## 5.2 ปัญหาอุปสรรคและแนวทางการแก้ไข

ปัญหาอุปสรรคที่พบและวิธีการดำเนินการแก้ไขปัญหาสามารถสรุปได้ดังตาราง 5.1

ตาราง 5.1 ปัญหาอุปสรรคและแนวทางการแก้ไข

ปัญหาและอุปสรรค	แนวทางการแก้ไข
5.2.1 อุปกรณ์ที่ใช้ในการจัดทำโครงงานวิจัยหาซึ่งได้ยากในห้องทดลองหัวไป	ทำการสั่งซื้ออุปกรณ์ผ่านระบบ E-Commerce
5.2.2 ต้องใช้ทักษะและความรู้ด้านวงจรไฟฟ้าในระดับสูง	ทำการศึกษาและหาข้อมูลจากผู้ที่มีทักษะและความรู้ด้านวงจรไฟฟ้า
5.2.3 อุปกรณ์ที่สั่งซื้อมีระยะเวลาในการจัดส่งนาน	ปรับเปลี่ยนแผนการดำเนินงานตามสถานการณ์อยู่ตลอดเวลา
5.2.4 ใน การสั่งทำชิ้นส่วนต่างๆ เพื่อนำมาใช้ในการทดลองนั้น หากสั่งทำชิ้นส่วนคนละที่แล้วนำมาประกอบกันจะพบว่ามีขนาดไม่เท่ากันเนื่องจากเครื่องจักรที่ใช้ในการทำชิ้นส่วนแต่ละที่นั้นมีค่าความผิดพลาดของเครื่องจักรไม่เท่ากัน	สั่งทำชิ้นส่วนต่างๆ จากที่เดียวกันทั้งหมด เพื่อให้เกิดค่าความผิดพลาดของชิ้นงานน้อยที่สุด

### 5.3 ข้อเสนอแนะ

5.3.1 การศึกษาและทดลองเพิ่มเติมในอนาคต ควรใช้วงจรอื่นแทนตัวฟลายแบคคอนเวอร์เตอร์ (Flyback Converter) เนื่องจากตัวฟลายแบคคอนเวอร์เตอร์ (Flyback Converter) นั้นหากเกิดการเสียหายขึ้นไม่สามารถทำการเปลี่ยนตัวฟลายแบคคอนเวอร์เตอร์ (Flyback Converter) ได้ทันที เพราะหากเป็นวงจรที่ต้องใช้ตัวฟลายแบคคอนเวอร์เตอร์ (Flyback Converter) แบบเจาะจงยิ่ห้อและรุ่นนั้นจะทำให้ยากต่อการหาซื้อตามท้องตลาดในปัจจุบัน

5.3.2 ในการทดลองการอาร์ค (Electric Arc) ของวงจรนั้นควรทำในพื้นที่เปิด โดยมีอากาศถ่ายเทดีและสวมหน้ากากกันแก๊สพิษ เพราะเนื่องจากการอาร์ค (Electric Arc) จะทำให้เกิดก๊าซโอโซนหากทำการสูดดมเข้าไปจะทำให้เกิดอาการวิงเวียนศีรษะหรือหากสูดดมเข้าไปในปริมาณมากอาจทำให้เป็นลมได้

## บรรณานุกรม

ณัฐนพิญช์ จรุญศักดิ์. “การพัฒนาเครื่องพลาスマเย็นแบบเจ็ตที่ความดันบรรยากาศสำหรับการทำให้เลือดแข็งตัว.” วิทยานิพนธ์วิศวกรรมศาสตร์มหาบัณฑิต สาขาวิชาวิศวกรรมชีวเวช คณะวิศวกรรมศาสตร์ มหาวิทยาลัยจุฬาลงกรณ์, 2554.

Izumori, K. (No. date). Establishment of product methods of rare sugars. [Online]. แหล่งที่มา <http://www.kagawa-is.jp> [2009, July 2].

Rare Sugar Research Center, Kagawa University. (2 0 0 3) . Outline of research. [ระบบออนไลน์]. แหล่งที่มา <http://www.rare-sugar.com> [2009, July 3].

Sellman, S. (2003). Xylitol-all natural sweetener xylitol-our sweet salvation. [Online]. แหล่งที่มา <http://www.angelfire.com> [2009, July 3].

## ภาคผนวก ก

ตารางแสดงค่าความคงทนไดอิเล็กทริก

ตาราง ก-1 แสดงค่าความคงทนไดอิเล็กทริกของตัวกลางทางไฟฟ้าชนิดต่างๆ

Substance	Dielectric Strength (MV/m)
Helium (relative to nitrogen)	0.15
Air	3
Sulfur hexafluoride (uniform electric field)	7
Sulfur hexafluoride (non-uniform electric field)	9
Alumina	13.4
Window glass	9.8 - 13.8
Borosilicate glass	20 - 40
Silicone oil, mineral oil	10 – 15
Benzene	163
Polystyrene	19.7
Polyethylene	19 – 160
Neoprene rubber	15.7 – 26.7
Distilled water	65 – 70
High vacuum (field emission limited)	20 – 40 (depends on electrode shape)
Fused silica	47 – 67
Waxed paper	40 – 60
PTFE (Teflon, extruded )	19.7
PTFE (Teflon, insulating film)	60 – 173
PEEK (Polyether ether ketone)	23
Mica	118
Diamond	2,000
PZT	10 - 25

## ภาคผนวก ข

ตารางแสดงค่าพลังงานที่ใช้ในการถลวยพันธะ

ตาราง ข-1 แสดงค่าพลังงานที่ใช้ในการถ่ายพันธะไฮโดรเจนชนิดต่างๆ

Single Bonds	Average Bond Energies (kJ/mol)
H-H	432
H-F	565
H-Cl	427
H-Br	363
H-I	295
C-H	413
N-H	391
O-H	467
S-H	347
Si-H	393

## ประวัติผู้เขียน

ชื่อสกุล : นายภูเบศ เทพварินทร์

รหัสนักศึกษา : 590612079

วัน เดือน ปี เกิด : 23 ตุลาคม 2540

ประวัติการศึกษา: กำลังศึกษาระดับอุดมศึกษา คณะวิศวกรรมศาสตร์

สาขาวิศวกรรมอุตสาหการ มหาวิทยาลัยเชียงใหม่

สำเร็จการศึกษามัธยมศึกษาตอนปลาย

โรงเรียนนวมินทรราชินูทิศ บดินทรเดชา จังหวัดกรุงเทพมหานคร

สำเร็จการศึกษามัธยมศึกษาตอนต้น

โรงเรียนนวมินทรราชินูทิศ บดินทรเดชา จังหวัดกรุงเทพมหานคร

ที่อยู่ปัจจุบัน : 477/208 เพลลีลาก้อนโตทาวน์ ซอยลาดพร้าว 94 แขวงพลับพลา

เขตพลับพลา จังหวัดกรุงเทพมหานคร 10310

E-mail : phubest@windowslive.com



ชื่อสกุล : นายศุภกฤต เสรีสุขातิ

รหัสนักศึกษา : 590612094

วัน เดือน ปี เกิด : 2 ตุลาคม 2540

ประวัติการศึกษา: กำลังศึกษาระดับอุดมศึกษา คณะวิศวกรรมศาสตร์

สาขาวิศวกรรมอุตสาหการ มหาวิทยาลัยเชียงใหม่

สำเร็จการศึกษามัธยมศึกษาตอนปลาย โรงเรียนช่องฟ้าซินเชียงวนิชบำรุง

จังหวัดเชียงใหม่



สำเร็จการศึกษามัธยมศึกษาตอนต้น โรงเรียนช่องฟ้าซินเชียงวนิชบำรุง

จังหวัดเชียงใหม่

ที่อยู่ปัจจุบัน : 99/126 หมู่ 3 ตำบลท่าศาลา อำเภอเมือง จังหวัดเชียงใหม่ 50000

E-mail : Suprakit0s@gmail.com